

# UNIVERSIDAD NACIONAL AUTONOMA DE MEXICO

---

---

FACULTAD DE INGENIERIA



"MODELO DIGITAL PARA EL ANALISIS DE CORTINAS EN  
ARCO A TRAVES DEL METODO DE LOS ARCOS-MUROS"

TESIS PROFESIONAL

Que para Obtener el Título de:

**I N G E N I E R O C I V I L**

P r e s e n t a:

Leonardo Ponce Hernández

México, D. F.

1983



Universidad Nacional  
Autónoma de México



**UNAM – Dirección General de Bibliotecas**  
**Tesis Digitales**  
**Restricciones de uso**

**DERECHOS RESERVADOS ©**  
**PROHIBIDA SU REPRODUCCIÓN TOTAL O PARCIAL**

Todo el material contenido en esta tesis esta protegido por la Ley Federal del Derecho de Autor (LFDA) de los Estados Unidos Mexicanos (México).

El uso de imágenes, fragmentos de videos, y demás material que sea objeto de protección de los derechos de autor, será exclusivamente para fines educativos e informativos y deberá citar la fuente donde la obtuvo mencionando el autor o autores. Cualquier uso distinto como el lucro, reproducción, edición o modificación, será perseguido y sancionado por el respectivo titular de los Derechos de Autor.

"MODELO DIGITAL PARA EL ANALISIS DE CORTINAS EN ARCO  
A TRAVES DEL METODO DE LOS ARCOS-MUROS"

I N D I C E	Pag.
AGRADECIMIENTOS	i
1.- INTRODUCCION.	1
2.- CRITERIO DE ANALISIS.	6
3.- MODELO DIGITAL.	20
4.- APLICACIONES.	32
5.- CONCLUSIONES.	39
BIBLIOGRAFIA.	
ANEXO; FIGURAS Y TABLAS.	

## AGRADECIMIENTO:

Al Ing. Antonio Acosta Godínez, quien me dió la primera oportunidad de desarrollo profesional, por la paciente y acertada dirección de este trabajo.

Al Ing. Rafael Aranda Hernández, destacado investigador del Instituto de Ingeniería, por su tiempo y valiosos comentarios, al haber leído el preliminar de este trabajo.

Al Ing. Antonio Abaunza de la Escosura, incansable profesor de nuestra facultad, por sus acertados consejos.

## 1.- I N T R O D U C C I O N

La creación de la infraestructura adecuada para: la - producción de alimentos, el abastecimiento de agua potable, - la generación de energía eléctrica, etc.; es un problema cuya solución es de carácter prioritario para México. Dentro - de este marco, se puede incluir la necesidad de contar con - grandes volúmenes de agua con el fin de satisfacer los requerimientos: agrícolas, ganaderos, industriales, domésticos...

Una de las diversas formas de aprovechar los recursos hidráulicos es mediante la construcción de presas. Este tipo de obras destacan por las diferentes funciones que cumplen y por la gran cantidad de tecnología que se aplica, desde su - planeación hasta su operación y mantenimiento.

Se puede decir que una presa es el conjunto de estructuras e instalaciones cuyo objetivo es formar una obstruc---ción en un río, para almacenamiento o derivación y aprove---char en forma eficiente el agua que fluye por una corriente. También se puede afirmar que la cortina es una de las estructuras más importantes de una presa.

Las cortinas se pueden clasificar según diferentes --

puntos de vista; en forma general, pueden agruparse de acuerdo con los materiales con que se construyen:

- Material homogéneo (tierra o enrocamiento)
- Materiales graduados (tierra y enrocamiento)
- Mampostería
- Concreto.

En esta tesis se tratarán las cortinas de concreto, - cuyos tipos más comunes son:

- Cortinas de gravedad.- Este tipo de estructura depende de su propio peso para lograr su estabilidad estructural. La carga del agua se trasmite a través de la cortina al material de la cimentación. Generalmente las cortinas de gravedad tienen un ancho en la base igual a 0.7 a 0.9 de su altura.

- Cortinas de contrafuertes.- En este tipo de cortinas se incluyen: las de losas planas, de arcos múltiples, de contrafuertes de cabeza redonda, y las de cúpulas múltiples. Las cargas del agua se transmiten a la cimentación por dos sistemas de miembros que soportan carga; (1) losas planas, arcos o cúpulas que soportan la carga directa del agua y la transmiten a, (2) los contrafuertes, y estos a su vez a la cimentación.

- Cortinas en arco.- En general este tipo de cortinas pueden subdividirse en: cortinas de radio constante; de ángulo constante y de radio variable. (figs. 1 a 3).

Es necesario hacer notar que es relativamente difícil encontrar sitios adecuados para construir una cortina en arco. La construcción resulta factible cuando se cuenta con un cañón estrecho en forma de "V" o "U". Las paredes del cañón deben ser de roca adecuada para soportar la carga del agua - transmitida a los costados por el efecto del arco. De la misma forma, se debe contemplar la posibilidad de contar con -- bancos de materiales de buena calidad para la elaboración -- del concreto que dará forma a la cortina.

En México existen varias cortinas en arco, de las que destacan por su magnitud: La presa Calles, sobre el río Santiago en el estado de Aguascalientes, construida en 1931 por la Comisión Nacional de Irrigación (hoy S.A.R.H.); la presa Plutarco Elías Calles sobre el río Yaqui en el estado de Sonora; la presa Manuel M. Diegues (Sta. Rosa) en el río Santiago, estado de Jalisco; éstas dos últimas corresponden a la Comisión Federal de Electricidad, que las terminó de construir en el año de 1964 y 1963 respectivamente.

La capacidad de los arcos para soportar cargas, permite al proyectar una cortina, ahorrar material y mantener una estructura segura. En el proyecto de cortinas en arco, el objetivo es transmitir las fuerzas hidrostáticas a los apoyos laterales, aunque existen otras fuerzas, tales como las producidas por sismo o por la presión de los azolves. En este trabajo sólo se considera la carga producida por la presión hidrostática del agua, ya que de igual manera como se trata-

a esta fuerza se sigue para las restantes

La teoría para el proyecto de cortinas en arco, ha --  
cambiado constantemente. Primero se usó para el diseño la --  
Teoría del Cilindro; todavía se emplea para estudios de pre-  
factibilidad y para análisis en presas pequeñas. Esta teoría  
supone que toda la carga del agua se trasmite a los apoyos -  
por el efecto de arco. Se obtiene el espesor del arco a dife-  
rentes profundidades con la formula

$$t = \frac{r\gamma x}{f} \quad (1.1)$$

donde: t es el espesor del arco a la profundidad x; r es el-  
radio del arco;  $\gamma$  es el peso volumétrico del agua y f es el-  
esfuerzo permisible de compresión para el concreto.

Sin embargo, como el arco es sólo un segmento de cír-  
culo y no un anillo completo, los esfuerzos y dimensiones --  
calculados pueden ser solamente aproximaciones. Además, en --  
las secciones gruesas el esfuerzo máximo puede ser muy dife-  
rente.

Posteriormente se han hecho análisis en que se combi-  
na la acción de vigas verticales en voladizo con la de arcos  
horizontales, de lo que se han obtenido resultados satisfac-  
torios. En este tipo de análisis, la carga hidrostática se -  
divide entre los arcos horizontales y las vigas verticales.  
Los esfuerzos calculados, cuando las deformaciones en puntos  
coincidentes de arcos y vigas concuerdan satisfactoriamente,



se consideran como los esfuerzos verdaderos en la cortina.

El método de las Cargas de Prueba utiliza esta técnica, haciendo una repartición preliminar de la presión del agua entre arcos y voladizos de tal forma que las deflexiones en los puntos de intersección sean iguales, calculados separadamente para cada elemento. La repartición de la presión se varía para lograr la igualdad de los desplazamientos.

El método de "ARCOS-MUROS", también supone la repartición de carga entre arcos y voladizos con la particularidad de que este método trata de hacer lineales las ecuaciones de la elasticidad, para resolver el problema sin tanteos.

La intención de este trabajo es presentar un modelo digital de análisis por el método de "ARCOS-MUROS". En este modelo se considera la interacción de varios arcos con una sola viga vertical en voladizo, la correspondiente a la clave de los arcos. En las presas de poca o mediana altura, la determinación de esfuerzos basada en la distribución de cargas dada por una sola viga, es normalmente suficiente. Aún en las presas altas, puede usarse una sola viga para diseños preliminares con el fin de hacer comparaciones económicas y de factibilidad técnica.

## 2.- CRITERIO DE ANALISIS

El método de los "ARCOS-MUROS" se basa principalmente en la solución de las ecuaciones diferenciales de los cascarones. Se desarrolla la teoría de cascarones en su forma más general, y se encuentra un sistema de ecuaciones diferenciales que al ser resuelto, proporciona un procedimiento numérico de análisis.

Conviene mencionar las hipótesis simplificadoras que se hacen para encontrar las relaciones básicas de los cascarones; estas son:

- a) El comportamiento del cascarón es elástico
- b) Las deformaciones son pequeñas con relación al espesor y radio del arco (régimen de deformaciones infinitesimales)
- c) Se ignoran las deformaciones por esfuerzo cortante
- d) Se desprecian los productos entre las deformaciones y sus derivadas.

Considérese una porción de la superficie de un cascarón (fig.4); se observa que  $\alpha = \text{constante}$  y  $\beta = \text{constante}$ , -- son las trazas del cascarón con los planos YZ y XZ respectivamente; también se puede establecer en todo punto "O" de la

superficie media, un sistema de coordenadas tangente en ese punto a las líneas de curvatura  $\alpha$  y  $\beta$ . En esta forma, las coordenadas "x" e "y" serán función de  $\alpha$  y  $\beta$ , o sea:

$$x = x(\alpha, \beta) ; y = y(\alpha, \beta) \quad (2.1)$$

de donde se obtiene:

$$\frac{dx}{d\alpha} = A(\alpha, \beta) ; \frac{dy}{d\alpha} = B(\alpha, \beta) \quad (2.2)$$

A y B son dos funciones positivas que indican la variación de las coordenadas x e y.

Durante la deformación, cada punto "o" sufrirá los desplazamientos  $u, v, w$ . Se pueden establecer así las siguientes relaciones entre los desplazamientos y las deformaciones unitarias de la superficie media del cascarón:

$$\begin{aligned} \epsilon_1 &= \frac{1}{A} \frac{\partial u}{\partial \alpha} + \frac{v}{AB} \frac{\partial A}{\partial \beta} + \frac{w}{R_1} \\ \epsilon_2 &= \frac{1}{B} \frac{\partial v}{\partial \beta} + \frac{u}{AB} \frac{\partial B}{\partial \alpha} + \frac{w}{R_2} \\ \gamma &= \frac{1}{A} \frac{\partial v}{\partial \alpha} + \frac{1}{B} \frac{\partial u}{\partial \beta} - \frac{u}{AB} \frac{\partial A}{\partial \beta} - \frac{v}{AB} \frac{\partial B}{\partial \alpha} \\ X_1 &= \frac{1}{A} \frac{\partial}{\partial \alpha} \left[ -\frac{1}{A} \frac{\partial w}{\partial \alpha} + \frac{u}{R_1} \right] - \frac{1}{AB} \frac{\partial A}{\partial \beta} \left[ -\frac{1}{B} \frac{\partial w}{\partial \beta} + \frac{v}{R_2} \right] \\ X_2 &= \frac{1}{B} \frac{\partial}{\partial \beta} \left[ -\frac{1}{B} \frac{\partial w}{\partial \beta} + \frac{v}{R_2} \right] - \frac{1}{AB} \frac{\partial B}{\partial \alpha} \left[ -\frac{1}{A} \frac{\partial w}{\partial \alpha} + \frac{u}{R_1} \right] \\ F &= \frac{1}{A} \frac{\partial}{\partial \alpha} \left[ -\frac{1}{B} \frac{\partial w}{\partial \beta} + \frac{v}{R_2} \right] - \frac{1}{AB} \frac{\partial A}{\partial \beta} \frac{\partial w}{\partial \alpha} - \frac{1}{AR_1} \frac{\partial v}{\partial \alpha} \end{aligned} \quad (2.3)$$

en estas ecuaciones,  $\epsilon_1$  y  $\epsilon_2$  son las deformaciones unitarias en las direcciones x e y respectivamente;  $R_1$  y  $R_2$  son los radios de curvatura;  $\gamma$  es la deformación angular de la porción de superficie media;  $X_1$  y  $X_2$  son las variaciones de la curvatura en las direcciones x e y; y F es la def

por torsión de la superficie media.

Ahora bien, de la ley de Hooke para un material isó--tropo en estado de esfuerzo plano, se conocen las ecuaciones que relacionan las deformaciones con los esfuerzos;

$$\begin{aligned} \bar{V}_x &= \frac{E}{1-\nu^2} (\varepsilon_1 + \nu\varepsilon_2) \\ \bar{V}_y &= \frac{E}{1-\nu^2} (\varepsilon_2 + \nu\varepsilon_1) \end{aligned} \quad (2.4)$$

$$\bar{C}_{xy} = -\bar{C}_{yx} = G\omega_{xy}$$

donde:  $\bar{V}_x$  y  $\bar{V}_y$  son los esfuerzos normales en las direcciones x e y; E es el módulo de elasticidad o de Young;  $\nu$  es la relación de Poisson;  $\bar{C}_{xy}$  y  $\bar{C}_{yx}$  son los esfuerzos cortantes; y G es el módulo de elasticidad al cortante.

A partir de los esfuerzos anteriores, se pueden encontrar las fuerzas normales, cortantes y momentos de flexión--y de torsión, integrandolos en la dirección de z; o sea, a lo largo del espesor de la porción de cascarón, para obtener --asi:

$$\begin{aligned} n_x &= \int_{-h/2}^{h/2} \bar{V}_x \left(1 - \frac{z}{R_2}\right) dz & , & \quad n_y = \int \bar{V}_y \left(1 - \frac{z}{R_1}\right) dz \\ n_{xy} &= \int \bar{C}_{xy} \left(1 - \frac{z}{R_2}\right) dz & , & \quad n_{yx} = \int \bar{C}_{yx} \left(1 - \frac{z}{R_1}\right) dz \\ q_x &= \int \bar{C}_{xz} \left(1 - \frac{z}{R_2}\right) dz & , & \quad q_y = \int \bar{C}_{yz} \left(1 - \frac{z}{R_1}\right) dz \quad (2.5) \\ m_x &= \int \bar{V}_z z \left(1 - \frac{z}{R_2}\right) dz & , & \quad m_y = \int \bar{V}_y z \left(1 - \frac{z}{R_1}\right) dz \dots\dots \end{aligned}$$

$$m_{xy} = \int \sigma_{xy} Z \left(1 - \frac{Z}{R_1}\right) dz, \quad m_{yx} = \int \sigma_{yx} Z \left(1 - \frac{Z}{R_1}\right) dz$$

todas las integrales tienen los mismos límites.

Considere ahora el equilibrio de fuerzas en las tres direcciones y de momentos respecto a los ejes X, Y y Z, para obtener las relaciones siguientes. (fig.5)

$$\begin{aligned} \frac{d(n_x B)}{d\alpha} + \frac{d(n_{yx} A)}{d\beta} - (r_1 n_{xy} B + r_2 n_y A) + \\ + (q_1 q_x B - q_2 q_y A) + ABX_0 = 0 \\ \frac{d(n_{xy} B)}{d\alpha} + \frac{d(n_y A)}{d\beta} - (p_1 q_x B + p_2 q_y A) + \\ + (r_1 n_x B + r_2 n_{yx} A) + ABY_0 = 0 \\ \frac{d(q_x B)}{d\alpha} + \frac{d(q_y A)}{d\beta} - (q_1 n_x B + q_2 n_{yx} A) + \\ + (p_1 n_{xy} B + p_2 n_y A) + ABZ_0 = 0 \end{aligned} \quad (2.6)$$

$$\frac{d(m_{xy} B)}{d\alpha} + \frac{d(m_y A)}{d\beta} + (m_x B r_1 + m_{yx} A r_2) - ABq_y = 0$$

$$\frac{d(m_x B)}{d\alpha} + \frac{d(m_{yx} A)}{d\beta} - (m_{xy} B r_1 + m_y A r_2) - ABq_x = 0$$

$$m_x B p_1 + m_y A q_2 + m_{xy} B q_1 + m_{yx} A p_2 - (n_{xy} - n_{yx}) AB = 0$$

$X_0, Y_0, Z_0$ ; son las componentes de la fuerza externa.

Los coeficientes que figuran en estas ecuaciones se pueden calcular de la siguiente forma:

$$p_1 = l_1 \frac{\partial l_1}{\partial \alpha} + m_1 \frac{\partial m_1}{\partial \alpha} + n_1 \frac{\partial n_1}{\partial \alpha}; \quad p_2 = l_2 \frac{\partial l_2}{\partial \beta} + m_2 \frac{\partial m_2}{\partial \beta} + n_2 \frac{\partial n_2}{\partial \beta}$$

$$q_1 = l_1 \frac{\partial l_1}{\partial \alpha} + m_1 \frac{\partial m_1}{\partial \alpha} + n_1 \frac{\partial n_1}{\partial \alpha}; \quad q_2 = l_2 \frac{\partial l_2}{\partial \beta} + m_2 \frac{\partial m_2}{\partial \beta} + n_2 \frac{\partial n_2}{\partial \beta} \quad \text{e.t.c.}$$

$$r_1 = l_1 \frac{\partial l_1}{\partial \alpha} + m_1 \frac{\partial m_1}{\partial \alpha} + n_1 \frac{\partial n_1}{\partial \alpha}; \quad r_2 = l_2 \frac{\partial l_2}{\partial \beta} + m_2 \frac{\partial m_2}{\partial \beta} + n_2 \frac{\partial n_2}{\partial \beta}$$

donde:  $l_1, l_2, l_3$  son los cosenos directores de los ejes  $x, y, z$  locales, respecto al eje  $X$  del sistema de ejes fijos  $\bar{X}, \bar{Y}, \bar{Z}$  -

(fig.4); de igual forma,  $m_1, m_2, m_3$  respecto a  $\bar{Y}$  y  $n_1, n_2, n_3$  - respecto a  $\bar{Z}$ .

Las diversas relaciones escritas antes, son suficientes para establecer las ecuaciones diferenciales de cascarones. Efectivamente; las ecs.(2.3) definen las deformaciones en función de los desplazamientos  $u, v, w$ ; las ecs.(2.5) proporcionan las fuerzas internas, y las ecs.(2.6) relacionan esas fuerzas entre si para lograr el equilibrio.

Según la hipótesis (c) mencionada al principio del capítulo, se pueden eliminar las fuerzas cortantes  $q_x$  y  $q_y$  en las ecs.(2.6) e introducir en las relaciones así obtenidas los valores de las ecs.(2.5) y (2.3). De lo anterior, se obtienen tres ecuaciones solo en función de los desplazamientos y las fuerzas externas.

Los cálculos descritos son realmente complicados, por lo que conviene en cada caso recurrir a las ecs.(2.3), (2.5), (2.6) y (2.7), para obtener las ecuaciones diferenciales correspondientes al caso particular.

Se pueden particularizar las ecuaciones generales para el caso de un cascarón cilíndrico, el cual se asemeja a una cortina en arco y establecer las ecuaciones diferenciales relativas a este problema.

La figura 6, representa una parte de la superficie re-

dia de una cortina cilíndrica: es decir, de una cortina con curvatura simple y constante. Las direcciones de curvatura  $\alpha$  y  $\beta$  coinciden con las generatrices y directrices del cilindro.

Cada punto de la superficie estará localizado según los valores de  $\alpha$  y  $\beta$  de coordenadas cilíndricas, definidas estas como la distancia a la corona y como la amplitud del ángulo del arco. El radio  $r$  se mantiene constante. En cada punto "P" definido por  $\alpha_0$  y  $\beta_0$  se establece un sistema local de coordenadas  $(x, y, z)$ ; eligiendo además un sistema de coordenadas fijo  $(\bar{X}, \bar{Y}, \bar{Z})$ , tal que  $\bar{X}$  coincida con el eje del cilindro y que  $\bar{Y}$  y  $\bar{Z}$  sean dos radios en el plano de la corona, se supone que  $\bar{Z}$  pasa por el punto "O" origen de las coordenadas cilíndricas, (fi.6).

De lo anterior se puede hacer lo siguiente: la relación entre las coordenadas cilíndricas y las locales se puede considerar como:

$$x = \alpha - \alpha_0 \quad ; \quad y = \beta r - \beta_0 r \quad (2.3)$$

según (2.2),

$$A = 1 = \text{cte.} \quad ; \quad B = r = \text{cte.} \quad (2.5)$$

también,

$$\frac{1}{R} = \frac{1}{r} = \text{cte.} \quad ; \quad R = r = \text{cte.} \quad (2.10)$$

y además,

$$\frac{\partial(\dots)}{\partial \alpha} = \frac{\partial(\dots)}{\partial x} \quad ; \quad \frac{\partial(\dots)}{\partial \beta} = \frac{\partial(\dots)}{\partial y} \quad (2.11)$$

Con relación a los ejes establecidos (fig.6), se puede formar la siguiente tabla de cosenos directores:

	$\bar{X}$	$\bar{Y}$	$\bar{Z}$
x	$l_1 = 1$	$m_1 = 0$	$n_1 = 0$
y	$l_2 = 0$	$m_2 = \cos \alpha_2$	$n_2 = \sin \alpha_2$
z	$l_3 = 0$	$m_3 = -\sin \alpha_2$	$n_3 = \cos \alpha_2$

aplicando estos valores de los cosenos en (2.7) se tiene:

$$p_1 = q_1 = q_2 = r_1 = r_2 = 0 ; \quad p_2 = 1 \quad (2.12)$$

Sustituyendo (2.9), (2.10) y empleando (2.11) en (2.3) se llega a lo siguiente:

$$\begin{aligned} \varepsilon_1 &= \frac{\partial u}{\partial x} \\ \varepsilon_2 &= \frac{\partial v}{\partial y} + \frac{w}{r} \\ \omega &= \frac{\partial v}{\partial x} + \frac{\partial u}{\partial y} \\ X_1 &= - \frac{\partial^2 w}{\partial x^2} \\ X_2 &= \frac{1}{r} \frac{\partial v}{\partial y} - \frac{\partial^2 w}{\partial y^2} \\ T &= \frac{1}{r} \frac{\partial v}{\partial x} - \frac{\partial^2 w}{\partial x \partial y} \end{aligned} \quad (2.13)$$

Si se emplean las simplificaciones apropiadas en la ec. (2.4), las integrales (2.5) se pueden efectuar, con lo que se obtiene:



$$\begin{aligned}
 n_x &= - \left[ \frac{\partial u}{\partial x} + \frac{\partial v}{\partial y} + \frac{w}{r} \right] + \frac{K}{r} \left[ \frac{\partial^2 w}{\partial x^2} \left( \frac{-1+2\nu+3}{2(1-\nu)} \right) - \right. \\
 &\quad \left. - \frac{\partial^2 w}{\partial y^2} \left( \frac{\nu(2+\nu)}{2(1-\nu)} \right) - \frac{\partial v}{\partial y} \frac{1}{r} \left( \frac{\nu(2+\nu)}{2(1-\nu)} \right) \right] \\
 n_y &= - \left[ \frac{\partial v}{\partial y} + \nu \frac{\partial u}{\partial x} + \frac{w}{r} \right] + \frac{K}{r} \left[ \frac{\partial^2 w}{\partial y^2} \left( \frac{\nu(2+\nu)}{2(1-\nu)} \right) + \frac{\partial^2 w}{\partial x^2} \left( \frac{\nu(1+2\nu)}{2(1-\nu)} \right) - \right. \\
 &\quad \left. - \frac{\partial v}{\partial y} \frac{1}{r} \left( \frac{\nu(2+\nu)}{2(1-\nu)} \right) \right] \\
 n_{xy} &= \frac{K}{r(1-\nu)} \left[ \frac{\partial v}{\partial x} + \frac{\partial u}{\partial y} \right] + \frac{K}{2}(1-\nu) \left[ \frac{\partial v}{\partial x} \frac{1}{r^2} - \frac{\partial^2 w}{\partial x \partial y} \frac{1}{r} \right] \\
 n_{yx} &= \frac{K}{r}(1-\nu) \left[ \frac{\partial v}{\partial x} + \frac{\partial u}{\partial y} \right] - \frac{K}{2}(1-\nu) \left[ \frac{\partial v}{\partial x} \frac{1}{r^2} - \frac{\partial^2 w}{\partial x \partial y} \frac{1}{r} \right] \\
 m_x &= K \left[ \frac{\partial^2 w}{\partial x^2} + \nu \frac{\partial^2 w}{\partial y^2} - \frac{2\nu}{r} \frac{\partial v}{\partial y} - \frac{\partial u}{\partial x} \frac{1}{r} - \frac{\nu w}{r^2} \right] \\
 m_y &= K \left[ \frac{\partial^2 w}{\partial y^2} + \nu \frac{\partial^2 w}{\partial x^2} - \frac{\partial v}{\partial y} \frac{1}{r} \right] \\
 m_{xy} &= K(1-\nu) \left[ \frac{\partial^2 w}{\partial x \partial y} - \frac{3}{2r} \frac{\partial v}{\partial x} - \frac{1}{2r} \frac{\partial u}{\partial y} \right] \\
 m_{yx} &= K(1-\nu) \left[ \frac{\partial^2 w}{\partial x \partial y} - \frac{1}{r} \frac{\partial v}{\partial x} \right]
 \end{aligned}
 \tag{2.14}$$

donde:

$$D = \frac{Eh^3}{12(1-\nu^2)} \quad ; \quad K = \frac{Eh^3}{12(1-\nu^2)} \tag{2.15}$$

h es el espesor del cascarón.

De igual forma se puede simplificar la ec. (2.6) con ayuda de las ecs. (2.9) a (2.12), para obtener las nuevas condiciones de equilibrio:

$$\begin{aligned}
 \frac{\partial n_x}{\partial x} + \frac{\partial n_{xy}}{\partial y} + X &= 0 \\
 \frac{\partial n_{xy}}{\partial x} + \frac{\partial n_y}{\partial y} - \frac{\partial n_x}{r} - Y &= 0 \\
 \frac{\partial q_x}{\partial x} + \frac{\partial q_y}{\partial y} + \frac{\partial q_z}{r} + Z &= 0 \dots\dots\dots
 \end{aligned}
 \tag{2.16}$$

$$\frac{\partial m_{xy}}{\partial x} + \frac{\partial n_{xy}}{\partial y} - q_y = 0$$

$$\frac{\partial m_x}{\partial x} + \frac{\partial n_{yx}}{\partial y} - q_x = 0$$

$$m_{yx} + (n_{xy} - n_{yx})r = 0$$

Se observa en este sistema de ecuaciones, que la última de ellas se satisface directamente de las ecs.(2.14). De la cuarta y quinta de esas ecuaciones se pueden obtener los valores de las fuerzas cortantes  $q_x$  y  $q_y$ , que al ser empleados en las tres primeras, definen un sistema de ecuaciones básicas de equilibrio como el siguiente:

$$\frac{\partial n_x}{\partial x} + \frac{\partial n_{yx}}{\partial y} + X_0 = 0$$

$$\frac{\partial n_y}{\partial y} + \frac{\partial n_{xy}}{\partial x} - \frac{1}{r} \frac{\partial m_y}{\partial y} - \frac{1}{r} \frac{\partial m_{xy}}{\partial x} + Y_0 = 0 \quad (2.17)$$

$$\frac{n_y}{r} + \frac{\partial^2 m_y}{\partial y^2} + \frac{\partial^2 m_x}{\partial x^2} + \frac{\partial^2 m_{xy}}{\partial x \partial y} + \frac{\partial^2 m_{yx}}{\partial x \partial y} + Z_0 = 0$$

Si en el sistema de ecuaciones anterior, se emplean las ecs.(2.14), el resultado será un sistema con derivadas hasta de cuarto orden, lo que para ser aplicado directamente al cálculo de cortinas resulta demasiado complicado. En seguida se hará una serie de simplificaciones con el fin de establecer relaciones más manejables numéricamente.

La primera simplificación, es suponer nula la relación de Poisson; lo anterior puede ser justificado por el hecho de que para el concreto, es relativamente pequeño (menos de 1/6). Una segunda simplificación, es considerar que la cortina es delgada; esto significa que el espesor a cualquier nivel debe ser menor de 1/5 del radio de curvatura. A

partir de estas dos simplificaciones es posible transformar las relaciones (2.15) en la siguiente forma:

$$k = \frac{K}{r^2 D} = \frac{r^2}{12 E r^2} \leq \frac{1}{300} \quad (2.18)$$

Los desplazamientos verticales son relativamente pequeños de tal forma que la siguiente simplificación será considerar que:

$$u(x, y) = 0 \quad (2.19)$$

Al conjugar las simplificaciones anteriores y considerar al arco como un elemento independiente, se pueden ignorar las derivadas con respecto a  $x$ , para que las relaciones (2.14) tomen la forma:

$$\begin{aligned} N &= n_y = D \frac{\partial v}{\partial y} + D \frac{w}{r} + K \frac{w}{r^3} + \frac{K}{r} \frac{\partial^2 w}{\partial y^2} \\ M &= m_y = K \frac{\partial^2 w}{\partial y^2} + K \frac{w}{r^2} \\ Q &= q_y = \frac{\partial m}{\partial y} = \frac{\partial M}{\partial y} \end{aligned} \quad (2.20)$$

que son los elementos mecánicos que actúan sobre el arco (fig. 7).

Las ecs. (2.20) sustituidas en las ecs. (2.17) para  $Y_0$  y  $Z$ , conducen a:

$$D \frac{\partial^2 v}{\partial y^2} + \frac{D}{r} \frac{\partial w}{\partial y} + Y_0 = 0 \quad (2.21)$$

$$\frac{D}{r} \frac{\partial v}{\partial y} + \frac{D}{r} w + \frac{K}{r} w + 2 \frac{K}{r} \frac{\partial w}{\partial y} + K \frac{\partial^2 w}{\partial y^2} + Z = 0$$

De considerar ahora el caso particular de  $Y_0 = 1$  y  $Z = Pa$  (fig. 7), y la relación (2.18), se llega a:

$$r \frac{\partial^2 v}{\partial y^2} + \frac{\partial w}{\partial y} = 0 \quad (2.22)$$

$$r \frac{\partial v}{\partial y} + w + k \left[ w + 2r^2 \frac{\partial^2 w}{\partial y^2} + r^4 \frac{\partial^4 w}{\partial y^4} \right] \frac{r^2 Pa}{D} = 0$$

donde Pa es la presión que actúa uniformemente sobre el eje del arco.

La solución simplificada de este sistema de ecuaciones diferenciales parciales es la siguiente:

$$\begin{aligned} w &= - \frac{r^2 Pa}{D(1+k)} - \frac{C_1}{(1+k)} + C_2 \cos \left[ \frac{y}{r} \right] + C_5 \left[ \frac{y}{r} \right] \sin \left[ \frac{y}{r} \right] \\ v &= C_1 \left[ \frac{y}{r} \right] - C_2 \sin \left[ \frac{y}{r} \right] - C_5 \left[ \sin \left[ \frac{y}{r} \right] - \left[ \frac{y}{r} \right] \cos \left[ \frac{y}{r} \right] \right] \\ \frac{\partial w}{\partial y} &= - C_2 \frac{1}{r} \sin \left[ \frac{y}{r} \right] + C_5 \frac{1}{r} \left[ \sin \left[ \frac{y}{r} \right] + \left[ \frac{y}{r} \right] \cos \left[ \frac{y}{r} \right] \right] \end{aligned} \quad (2.23)$$

donde:  $C_1$ ,  $C_2$ ,  $C_5$ , son las constantes de integración que quedan después de simplificar la solución general del sistema dado por las ecs.(2.22). Es claro que al contar con tres ecuaciones y tres incógnitas, el sistema (2.23) puede ser resuelto para  $C_1$ ,  $C_2$  y  $C_5$ .

Hasta aquí, se ha logrado encontrar el sistema de ecuaciones diferenciales para arcos cilíndricos delgados y su solución correspondiente; todo esto se ha derivado de las ecuaciones generales de los cascarones.

Se mencionó en la introducción que el método de los "ARCOS-MUROS" considera la interacción entre arcos horizontales y una viga en voladizo vertical. La solución anterior corresponde a los arcos independientes; a continuación se verá

cómo se hace compatible la acción del voladizo.

En cada nivel, la presión hidrostática está equilibrada por la carga que toma el arco,  $P_a$ , y por la carga que toma el voladizo,  $P_v$ . Esto se puede expresar como:

$$P_{a_i} + P_{v_i} = P_i \quad (2.24)$$

Para resolver el problema de la repartición de carga, es necesario conocer la deformación y la curvatura en la clave del arco: para ello, se emplearán las relaciones (2.23) y se supondrá que el origen de las coordenadas cilíndricas es la clave del arco y así definir la siguiente igualdad:

$$w = - \frac{r^2 P_a}{D(1+k)} - \frac{C_1}{(1+k)} + C_2 = g P_a \quad (2.25)$$

donde:  $g$  es un coeficiente de deformación que varía de un arco a otro, según la profundidad.

La condición básica que permite tratar independientemente arcos horizontales y un voladizo central, es que en los puntos coincidentes de arcos y voladizo, la deformación sea la misma; o sea:

$$w_{ai} = w_{vi}$$

donde el subíndice "a" indica arco, el "v" voladizo y el "i" el nivel al que corresponden las deformaciones.

Si se toma (2.25) para el arco y se emplea el teorema de los trabajos recíprocos - teorema de Betti en el voladizo, se puede escribir:

$$\sum_{j=1}^n w_{ij} P v_j = g_i P a_i \quad (2.26)$$

en esta expresión,  $w_{ij}$  es la deformación del voladizo en el nivel  $i$  producida por una carga unitaria en el nivel  $j$ , calculada con el teorema de Betti; todo el primer miembro es la deformación total del voladizo en el nivel  $i$ .

Ahora bien, según (2.24)

$$P a_i = (P_i - P v_i)$$

que al ser empleada en (2.26) produce el siguiente sistema de ecuaciones simultáneas:

$$\sum_{j=1}^n w_{ij} P v_j + P v_i g_i - P_i g_i = 0 \quad (2.27)$$

El sistema (2.27) proporciona la parte de la carga -- hidrostática que corresponde resistir al voladizo; bastará -- recurrir a la ec.(2.24) para conocer la carga que toma el arco.

Los esfuerzos en el voladizo se pueden calcular con -- la fórmula clásica de la flexión:

$$\sigma_x = \frac{m \times Z}{I} \quad (2.28)$$

en la que,  $I$  es el momento de inercia de la sección del voladizo considerando un ancho unitario y el espesor correspondiente al nivel tratado.

Para el arco se puede emplear la siguiente expresión--

dada por J. Barbanti;

$$\overline{V}_y = \frac{E_2}{h} - k - \frac{z}{E-z} \frac{E_2 F}{1} \quad (2.29)$$

A partir del sistema (2.23), los cálculos se pueden realizar en forma sistemática; para ello, en el siguiente capítulo se desarrolla un programa para computador digital que abarca todas las facetas de cálculo numérico.

### 3.- M O D E L O D I G I T A L

Con base en el desarrollo matemático del capítulo anterior, se ha elaborado un programa para computador digital con el fin de cubrir las fases de análisis que el método de los "ARCCS-MUROS" exige. El programa está constituido por seis partes principales y ha sido escrito en lenguaje FORTRAN IV. Las corridas se hicieron en un computador tipo CYBER 70-CDC. También se implementó el programa en lenguaje BASIC empleando un minicomputador de capacidad media. En la fig.8 se presenta el diagrama de bloques del programa.

El proceso para definir la configuración definitiva de una cortina en arco se puede considerar como iterativo, de tal forma que es necesario preparar varias alternativas hasta encontrar la que, al ser considerada con el criterio de esfuerzos permisibles, proporcione resultados satisfactorios.

A continuación se describen brevemente las partes del modelo:

PRIMERA PARTE. En esta parte se presenta la lectura de los datos de proyecto.



-Elevación de la corona y elevación de desplante.- Es-  
tos datos se obtienen de un estudio hidrológico y topografi-  
co, respectivamente, en que se haya determinado la altura --  
que se requiere para la cortina.

-Ancho de la corona.- En el siguiente capítulo se ve-  
rá una forma de calcular el ancho en la corona, de acuerdo -  
con la altura de la cortina.

-Semicuerda y semiángulo que abarca cada uno de los -  
arcos.- Estos dos grupos de datos geométricos se determinan-  
al hacer un trazo previo de la cortina sobre un plano de cur-  
vas de nivel (fig.12).

-Coeficientes de deformación del terreno  $K_1, K_2, K_3$  y  
 $K_4$ .- Estos valores pueden ser tomados de las curvas publica-  
das por el U.S.B.R. (fig.9).

SEGUNDA PARTE. Aquí se completa el cálculo de la geo-  
metría de la cortina iniciado al hacer el trazo preliminar.  
Se definen en esta parte los siguientes parámetros: La pro--  
fundidad de los arcos; el radio de los arcos en función de -  
la cuerda y el ángulo; el espesor de la cortina a diferentes  
niveles con una fórmula exponencial propuesta por J. Lombar-  
di; la longitud de cada arco y el volumen total de la corti-  
na.

En esta segunda parte también se calcula la presión--

hidrostática total del agua con la fórmula:

$$P_h = \gamma x \left( 1 + \frac{h}{2r} \right) \quad (3.1)$$

Se ha considerado suficiente dividir la cortina en diez arcos, de tal manera que se tendrán once juegos de datos; uno para cada una de las secciones que limitan los arcos.

TERCERA PARTE. Esta parte corresponde al cálculo de los coeficientes "G" de deformación radial para la clave de cada uno de los arcos y al cálculo de las deformaciones del voladizo central por carga triangular unitaria (fig.10).

El coeficiente "G" se puede calcular con la ecuación (2.25) después de haber resuelto el sistema (2.23) para  $C_1$ ,  $C_2$  y  $C_5$ . El sistema (2.23) se resuelve aplicando condiciones de frontera; es decir, las deformaciones en el extremo del arco son las mismas que las del terreno de apoyo; dichas deformaciones pueden expresarse con las relaciones de F. Vogt:

$$\begin{aligned} W_t &= \frac{1}{Et} (K_3 q + K_5 \frac{m}{h}) \\ V_t &= \frac{1}{Et} (-K_2 n) \\ \frac{dW_t}{dy} &= \frac{1}{Et} (-K_5 \frac{q}{h} - K_1 \frac{m}{h}) \end{aligned} \quad (3.1)$$

donde:  $W_t$  y  $V_t$  son respectivamente, la deformación en dirección radial y la deformación en dirección tangencial del terreno;  $E_t$  es el módulo de elasticidad de la roca de apoyo supuesto igual al del concreto;  $K_1$ ,  $K_2$ ,  $K_3$  y  $K_5$  son los coefi-

cientes de deformación del terreno (fig.9).

Igualando (2.23) y (3.2) se determinan fácilmente  $C_1$ ,  $C_2$  y  $C_3$ .

Las deformaciones del voladizo se calculan para una carga unitaria uniforme pero descompuesta en dos grupos de cargas triangulares, también unitarias, y cuyos vértices coinciden en los cruces con los arcos (fig.10). Las cargas triangulares unitarias se transforman a fuerzas concentradas -- equivalentes para aplicar con facilidad el teorema de los -- trabajos recíprocos. De esta forma se obtienen las deformaciones del voladizo en los puntos donde se cruza con los arcos.

CUARTA PARTE. En esta parte se resuelve el sistema -- (2.27) que por haberse dividido la cortina en diez arcos, resulta de orden diez. Este sistema impone la compatibilidad de deformaciones entre la clave de los arcos y el voladizo central. Al mismo tiempo se determina aquí la parte que de la carga hidrostática soportan el voladizo y los arcos.

QUINTA PARTE. En esta parte se calculan los parámetros que definen si la cortina es o no adecuada; estos parámetros son: los esfuerzos tangenciales en los arcos y en el voladizo y sus deformaciones.

Los esfuerzos tangenciales en los arcos se calculan--

con la expresión (2.29) para diferentes arcos, desde la clave hasta el apoyo, tanto en el extradós e intradós, como en el eje del arco.

Para el cálculo de los esfuerzos del voladizo se emplea la fórmula de la flexión (2.28), también llamada de la escuadría.

Las deformaciones de la clave de los arcos, que son las mismas del voladizo, se determinan con los coeficientes "G" de deformación radial, simplemente al multiplicarlos por la carga que toma el arco del nivel correspondiente; la deformación tangencial de la clave se considera nula por estar tratando en este caso con arcos simétricos.

En el apoyo del arco se pueden considerar dos deformaciones, las deformaciones del terreno en dirección radial y la deformación del mismo en dirección tangencial; estas se pueden calcular con las relaciones (3.2) antes mencionadas.

SIXTA PARTE. Esta última parte está dedicada a la impresión, tanto de los datos de proyecto, como de los principales resultados del análisis.

Adicionalmente, el programa cuenta con una subrutina que resuelve sistemas de ecuaciones lineales por el método de Gauss-Jordan. Este método es de suficiente exactitud para resolver en especial los tipos de sistemas que se generan, -

tales como el sistema (2.23) de ordentres y el (2.27) de orden diez.

A continuación se dá la definición de las principales variables que intervienen en el programa, así como un listado del mismo:

- EC.- Elevación de la corona (msnm)
- ED.- Elevación de desplante (msnm)
- AC.- Ancho de corona (m)
- CK2.- Coeficiente de la ley de variación de espesores  
(adimensional)
- SC.- Semicuerda del arco (m)
- R.- Radio interno del arco (m)
- ESP.- Espesor del arco (m)
- RM.- Radio del eje del arco (m)
- PH.- Presión hidrostática (ton/m<sup>2</sup>)
- A.- Matriz de coeficientes del sistema (2.23)
- B.- Vector de términos independientes del sistema ---  
(2.23)
- CI1, CI2, CI3.- Coeficientes de integración que resultan de la solución del sistema (2.22)  
(m)
- G.- Coeficiente de deformación radial para la clave de los arcos (m/ton)
- DI0, DI1, DI2.- Valores de las integrales que resultan de la aplicación del teorema de los trabajos recíprocos.

DELTA.- Deformación en el nivel I por carga concentrada  
da unitaria en el nivel J

W.- Deformación en el nivel I por carga triangular --  
unitaria en el nivel J

SUW.- Vector de términos independientes del sistema--  
(2.27)

C2SF.- Matriz de coeficientes del sistema (2.27)

PV2.- Presión que soporta el voladizo (ton/m<sup>2</sup>)

PA2.- Presión que soportan los arcos (ton/m<sup>2</sup>)

EFORTA.- Esfuerzos producidos en los arcos (ton/m<sup>2</sup>)

VM.- Momento flexionante en el voladizo (ton-m)

EFORTV.- Esfuerzos producidos en el voladizo (ton/m<sup>2</sup>)

DEFOC.- Deformación de la corona de los arcos (m)

ENE.- Fuerza normal en una sección de arco (ton)

EME.- Momento flexionante en dirección "y", en una --  
sección de arco (ton-m)

CU.- Fuerza cortante en una sección de arco (ton)

DEFRT.- Deformación radial del terreno (m)

DEFTT.- Deformación tangencial del terreno (m)

```

C*** GEOMETRIA DE LA CORTINA
    READ 1, ED, EO, AC, CK2
    READ 1, (C(I), I=1, 11)
    READ 1, (ANGAR(I), I=1, 11)
    READ 1, CBT1, CBT2, CBT3, CBT5
    PRINT 21
C*** GEOMETRIA DE LA CORTINA
    DX= (EO-ED)/10.0
    DO 61 J=1, 11
        NI(J)= J-1
        X(J)= DX*NI(J)
        ELE(J)= EO-X(J)
        R(J)= SO(J)/SIN(ANGAR(J))
        ESP(J)= AC*EXP(CK2*X(J))
        RM(J)= R(J)+ESP(J)/2.
        YAR(J)= R(J)*ANGAR(J)*2.
        AAR(J)= YAR(J)*ESP(J)
        NANGAR= ANGAR(J)+131.173.1416+9.5
        PH(J)= X(J)*(1+ESP(J)/(2.*R(J)))
        PRINT 22, X(J), ELE(J), X(J), SO(J), NANGAR, R(J), ESP(J), RM(J), YAR(J),
        1AAR(J)
    61 CONTINUE
    VOL= (AAR(1)+AAR(11))*DX/2.
    IF EO LEQ 0.1
        VOL= VOL+11*(1-EO)
    62 CONTINUE
    PRINT 23, VOL
C*** COEFICIENTES DE DEFORMACION RADIAL Y CURVATURA DE LOS ARCS
    PRINT 24
    PRINT 25
    DO 63 I=1, 10
        DENA= SIN(ANGAR(I))
        COSA= COS(ANGAR(I))
        ESP= ESP(I)/RM(I)
        ESP2= ESP**2.
        ESP3= ESP**3.
        A(1,1)= ESP(I), I)=(10*ESP(I)*2-12.)/((12.+ESP(I)
        A(1,2)=ESP(I), I)=ESP(I)
        A(1,3)=ESP(I), I)=ANGAR(I)-17.11+0.077/6.*ESP(I)*DENA-0.171/6.*ESP(I)*COSA
        A(2,1)=A(1,1), I)=-(10*ESP(I)*2)/((12.+ESP(I))*ELR(I))
        A(2,2)=A(1,1), I)=-(10*ESP(I)*2)
        A(2,3)=A(1,1), I)=0.171/6.*ESP(I)*DENA+0.171/6.*ESP(I)*COSA-0.171/6.*ESP(I)*DENA
        10 A(3,1)=A(1,1), I)=A(1,1)*I
        A(3,2)=A(1,1), I)=A(1,1)*I
        A(3,3)=A(1,1), I)=A(1,1)*I
    63 CONTINUE
    
```

```

4(1,2)=A*(1,1)=C1**2/8.*ESP**2*G05A-DETA+AN*SP(I)*C1.A
3(1)=AR(1,1)=(ESP(I)**(12./ESP2-DET))/((12.+EL-2)
2(2)=A*(1,2)=DET/(12.+ESP(I)
1(3)=A*(1,3)=DET**2*P4(I)
NICA=9
CALL SUBRTE 14(A,P,D,NICA)
111= AR(11,I)= C(1)
112= AR(14,I)= C(2)
115= AR(15,I)= C(3)
115P= AR(15,I)= 115*(1+ESP**5.)
6(I)= AR(17,I)= -(12.*ESP(I))/(ESP**2*(12.+FS*(2))-(12.*111)/(12.+
ESP2)+112
F1(I)= AR(18,I)= (-112+2.*115P)/RN(I)**2.
63 CONTINUE
PRINT 26,(113,I),I=1,10),(AR(14,I),I=1,10),(AR(16,I),I=1,10)
PRINT 27
PRINT 28
PRINT 28,(3(1),I=1,10),(F1(I),I=1,10)
C*** REFERENCIA EN EL NIVEL I POR CARGA UNITARIA EN EL NIVEL J
CK2P= CK2**3. $ CK2P2=CK2P**2. $ CK2P3=CK2P**3.
DO 64 I=1,11
CKX=CK2P**X(I) $ CKX2=CKX** 2. $ ECKX=EXP(CKX)
DI(I)= -1./CK2P**ECKX
DI1(I)= -(CKX+1.)/(CK2P2**ECKX)
DI2(I)= -(CKX2+2.*CKX+2.)/(CK2P3**ECKX)
64 CONTINUE
DO 65 I=1,11
ALFA(I)= DI*(11)-DI(I)
BETA(I)= DI1(11)-DI1(I)
GAMA(I)= DI2(11)-DI2(I)
65 CONTINUE
DO 66 I=1,11
DO 66 J=1,11
IF(I.GT.J) GO TO 66
DELTA(I,J)=DELTA(J,I)= -(I)*X(J)*ALFA(J)-(X(I)+X(J))*BETA(J)+GAMA
1(J)
66 CONTINUE
PRINT 29
PRINT 30,(I,DELTA(I,J),J=1,11),I=1,11)
C*** REFERENCIA POR CARGA UNIFORME UNIFORME
AG2= AG**7./12.
CK6=(CK/A.1)**AG2 $ CK7=(CK/A.1)**AG3 $ CK23=(CK/A.1)**AG4
DO 67 I=1,11
DO 67 J=1,11
IF(I.EQ.1.OR.J.EQ.11) GO TO 101
V(I,J)= CK6*DELTA(I,J+1)**AG2*DELTA(I,J)+CK7*DELTA(I,J+1)
101 GO TO 67
1 $ IF(J.EQ.11) GO TO 102
V(I,J)= CK6*DELTA(I,J)*CK7*DELTA(I,J+1)
102 GO TO 67

```



```

112 4(I, J)=BX+DELTA(I, J)+OX3*DELTA(I, J-1)
  07 CONTINUE
  PRINT 31
  PRINT 30, (I, (J(I, J), J=1, 11), I=1, 11)
C*** EFICIENCIA DEL SISTEMA (II. 21)
  01 53 I=1, 10
  02 54 J=1, 10
  IF (I.EQ. J) 3, 2, 4
103 025F(I, J)=R2S(I, J)=W(I, J)+(-3(I))
  01 TO 53
104 025F(1, J)=R2S(I, J)=W(I, J)
  08 CONTINUE
  NIGA=10
  CALL SISTEMA(R2S, TI, PV2, NIGA)
  P/2(11)=PH(11)
  01 59 I=1, 11
  PA2(I)=PH(I)-P/2(I)
  09 CONTINUE
  PRINT 32, ((025F(I, J), J=1, 11), 5 SW(I), I=1, 11)
  PRINT 33, ((PVC(I), I=1, 11), (PA2(I), I=1, 11), (PH(I), I=1, 11))
C*** CALCULO DE ESFUERZOS EN ARCOS
  PRINT 34
  01 75 I=1, 10
  AN=ANGAR(I)/PI
  RA=ANGAR(I) & T=RN(I) & E=ESP(I)
  BK=ESF(I)+2./4(12, *RM(I)+ 2.)
  C1=AR(13, I) & C2=AR(14, I) & C3=AR(15, I)
  00 75 J=1, 11
  PR=J-1
  ENG=AN*PR
  E=E & S2=E/2.
  02 76 K=1, 3
  I=7+62
  FFQTA(J, K)=1-T/2E+T BK/(E*(1.+PK))+(C1*(1.-1/4(T*(1.+PK)))+(1/4(T-1))*
  1(1-T)/(E*(1.+PK))-C1/(T*(1.+PK)))+(2.*C3*CCS(ANG))/T)*PA2(I)
  70 CONTINUE
  PRINT 35, 1, (ARQTA(L, M), L=1, 11), M=1, 3)
  75 CONTINUE
C*** ESFUERZOS EN EL COLADO
  M(1)=1.0 & FFFIV(1)=0.0
  01 77 I=2, 11
  PA70=I-1
  V4(I)=(OX+3. *PA2)/6.-(7. *PV2(1)-P/1(11)+R2S(1, 1)+R2S(1, 2)/1.3-13)*(-1.
  1)
  00 77 J=2, 1
  PA71=I-J
  M(I)=M(I)-T*3. *PA71*PVC(I)
  FFFIV(I)=F. *PA71/20. *R2S(I, 1)
  77 CONTINUE

```

```

PRINT 37, (ZFCO(I), I=1, 10), (DEFT(I), I=1, 10)
*** CALCULO DE DEFORMACIONES
DEFCO(11)=0.
DEFT(1)=1.
DEFCO(I)=-5(I)-PA2(I)
ENE=-54(I)+(ESP(1)*2./10.+14(I)+3.)+AR(16,I)*COS(ANGAR(I))
EIE=-ESP(1)+2./10.+ISP(1)+2./24(I)**2.+10(I)-3.*AR(16,I)/
10*(I)+2.*(12.+ESP(I)+2./24(I)+2.)+(10(I)+3./10.*R(I)+2.)
2*AR(16,I)*COS(ANGAR(I))
DU=- (ESP(I)**3./10.+RY(I)+3.)*AR(16,I)*SIN(ANGAR(I))
DEFT(I)=(DU+4.)*J+CTE*ENE/ESP(I)*PA2(I)
DEFT(I)=-DU+ENE*PA2(I)
78 CONTINUE
PRINT 37, (DEFCO(I), I=1, 11), (DEFT(I), I=1, 11), (DEFT(1), I=1, 10)
1 FORMAT(A11.0)
21 FORMAT(11I,5(/),5FX, *-GEOMETRIA DE LA CORTINA-*,5(/),3X,*NIVEL-*,2X
1,*ELEVACION-*,4X,*X-*,4X,*SEICUERDA-*,2X,*SEICUERDA-*,2X,*RADIO INTE
2RID-*,2X,*ESPESOR-*,2X,*PADI-*,2X,*LONGITUD ARCO-*,2X,*AREA MED
3IA ARCO-*,7,10X,*13MM-*,5X,*1-*,7X,*M-*,5X,*GRADOS-*,3X,*M-*,10X,*
4-*,3X,*4-*,13X,*M-*,13X,*M-*,/)
22 FORMAT(11X,12,1X,F10.2,2X,F5.2,F10.2,8X,12,1X,F10.3,4X,F7.2,2X,F
11.3,4X,F10.3,6X,F10.3,/)
23 FORMAT(3/,20X,*VOLUMEN TOTAL DE LA CORTINA-*,F10.2,3X,*M3*)
24 FORMAT(//,4X,*-SOLUCION DEL SISTEMA (II.23) PARA G1,G2 Y G5-*)
25 FORMAT(7,5X,*ARCO-*,7X,*1-*,11X,*2-*,11X,*3-*,11X,*4-*,11X,*5-*,11X,*6-*,
11X,*7-*,11X,*8-*,11X,*9-*,10X,*10-*)
26 FORMAT(7,5X,*G1-*,3X,*12.4,/,5X,*G2-*,3X,*12.4,/,5X,*G5-*,3X,*1.F1
12.4)
27 FORMAT(//,37X,*-COEFICIENTES DE DEFORMACION RADIAL Y CURVATURA DE L
102-*,2000-*)
28 FORMAT(7,5X,*G-*,4X,*12.4,/,5X,*F-*,4X,*12.4)
29 FORMAT(11I,5(/),5FX, *-DEFORMACION EN EL NIVEL -I- POR CARGA UNITA
RIA EN EL NIVEL -J-*,5(/))
30 FORMAT(8X,*J-*,11X,*1-*,10X,*2-*,10X,*3-*,10X,*4-*,10X,*5-*,10X,*6-*,
10X,*7-*,10X,*8-*,10X,*9-*,10X,*10-*,3X,*11-*,7,4X,*I-*,7,3X,12,8X,11F11.3,/)
2)
31 FORMAT(11I,5(/),5FX, *-DEFORMACION POR CARGA TRIANGULAR UNITARIA-*,
16(/))
32 FORMAT(11I,5(/),5FX, *-SISTEMA DE ECUACIONES (II.2) Y SU SOLUCION-
1-*,///,3X,*PV1-*,7X,*+ P/2-*,5X,*+ P/3-*,6X,*+ P/4-*,5X,*+ PV5-*,5X,
2+ PV6,5X,*+ P/7,5X,*+ P/8-*,5X,*+ PV3-*,5X,*+ P/10-*,///,10X,
311F12.3,/)
33 FORMAT(7,5X,*CARGA EN EL VOLVITO -PV-*,77,7X,11F11.3,///,3X,*CARGA
1 EN LOS ARCOS -A1-*,77,3X,11F11.3,///,3X,*CARGA EN EL VOLVITO -A2-*,
277,7X,11F11.3)
34 FORMAT(11I,5(/),5FX, *-EFECTOS EN LOS ARCOS-*,71,3,5X,*0.144-*,9-
1X,*0.001)
35 FORMAT(7(/),21,12,3X,11F11.3,7,(10X,11F11.3))
36 FORMAT(11I,5(/),5FX, *-EFECTOS EN EL VOLVITO-*,77,7X,*EFECTOS
1,7X,11F11.3,77,7X,*EFECTOS EN EL VOLVITO-*,77,7X,*EFECTOS EN EL VOLVITO-*)

```

```

* P, R, I, A, T, (, (, /, /, P, X, *, - D E F, R, I, M, T, V, E, S, -, *, 3, (, /, /, ), S, X, *, I, N, F, O, R, M, A, C, I, O, N, *, /, /, S, X, *, R, A, D, I,
1, 2, L, *, /, /, S, X, *, I, N, F, O, R, M, A, C, I, O, N, *, /, /, S, X, *, D, E, F, O, R, M, A, C, I, O, N, *, /, /, S, X, *, R, A, D, I, A, L,
2, *, /, /, S, X, *, D, E, L, T, E, R, E, N, O, *, S, X, *, I, N, F, O, R, M, A, C, I, O, N, *, /, /, S, X, *, D, E, F, O, R, M, A, C, I, O, N, *, /, /, S, X, *, T, A, I, S, E, N, O, I,
3, *, /, /, S, X, *, D, E, L, T, E, R, E, N, O, *, S, X, *, I, N, F, O, R, M, A, C, I, O, N, *)
E, N, D

```

#### 4.- APLICACIONES

Se verá en este capítulo la utilización práctica del método de "ARCOS-MUROS", como se describe a continuación.

Una vez que se elige el sitio para la presa, tomando en cuenta su potencial hidrológico, y que de acuerdo con las condiciones topográficas y geológicas se observa que es factible la construcción de una cortina en arco, se procede a preparar los datos para el análisis.

Los parámetros que se requieren al inicio del análisis son principalmente los relativos a la geometría de la cortina; espesores, cuerdas y ángulos de los arcos, así como los coeficientes de deformación del terreno.

El espesor a diferentes niveles se puede obtener a partir de la fórmula exponencial dada por J. Lombardi:

$$h = h_c e^{kx} \quad (4.1)$$

donde:  $h$  es el espesor a la profundidad  $x$ , a partir de la corona;  $h_c$  es el ancho de la corona;  $k$  es un coeficiente que depende del espesor de la base y la corona, y  $e$  es la base de los logaritmos naturales.

Ahora bien, para determinar los espesores de la base y la corona en una primera aproximación, se pueden emplear las relaciones de Rosanov:

$$h_b = 0.2 H \quad (4.2)$$

$$h_c = 0.01 (H + 1.2L_1)$$

en las que:  $h_b$  es el espesor de la base;  $H$  es la altura total de la cortina;  $h_c$  es el espesor de la corona, y  $L_1$  es la cuerda del arco de la corona.

Estos dos últimos valores  $h_b$  y  $h_c$  se determinan con facilidad a partir de la topografía y se complementan con la fórmula (4.1).

De la sección transversal del cauce que se elige para el emplazamiento de la cortina, se obtienen los valores de las cuerdas que se emplean en la fórmula que define al radio; esta es:

$$r_i = \frac{L_i/2}{\text{sen } \psi_i} \quad (4.3)$$

aquí:  $r_i$  es el radio en el intradós del arco;  $L_i$  es la longitud de la cuerda del arco, y  $\psi_i$  es el semiángulo del arco.

También deberá seleccionarse el valor del ángulo  $2\psi_i$  para cada arco. El ángulo tendrá que ser lo más grande posible para que el arco trabaje como tal. El ángulo con que el arco se aproxime a sus atragones no deberá ser menor de  $30^\circ$  para que la transmisión de esfuerzos sea adecuada, así entonces el ángulo  $2\psi_i$  no podrá ser mayor de  $120^\circ$  para una boqui-

lla de paredes paralelas.

Por otro lado, el ahorro en volúmen de la cortina se logra minimizando el área en planta del arco, lo que se consigue cuando  $\beta = 133^{\circ}30'$ . Se puede concluir entonces que el elegir un ángulo cercano a  $120^{\circ}$  para ser empleados en la fórmula (4.3), es adecuado.

Con relación a la forma en que se determinan los coeficientes de deformación del terreno, según la teoría de F.-Vogt, quien dedujo las fórmulas (3.2), la cimentación de la presa cede bajo la acción de fuerzas normales, cortantes, y momentos flexionantes. El prisma 1-2 de la fig. 11a. de espesor  $ib$  y ancho "a" está sujeto a una fuerza vertical que causa una deformación en la cimentación.

Si la cimentación es isótropa, la deformación se extiende a los lados y extremos del prisma; el material circundante ayuda a soportarlo. Si dos de éstos prismas están juntos, la deformación aumentará; ahora bien, cuando varios de éstos prismas cubren completamente el área rectangular 4-5, la contribución del material circundante puede despreciarse para un prisma en el centro.

Si los prismas son independientes unos de otros, la deformación variará con la distancia los extremos; pero si los prismas forman una unidad sólida, la deformación dependerá de la flexancia del terreno. El mismo razonamiento se --

puede aplicar a la fuerza cortante y al momento flexionante.

Los coeficientes  $K_1$ ,  $K_2$ ,  $K_3$  y  $K_5$ , como se ve en la -- fig. 9, dependen de la relación  $b/a$  y del módulo de Poisson, que como se dijo en el capítulo 2, se considera nulo. La relación  $b/a$  se puede obtener suponiendo un rectángulo de di-- mensiones "b" y "a" que contenga la misma área que el área-- real de la cimentación (fig.11b). No hay reglas definidas pa-- ra calcular las dimensiones "b" y "a"; el procedimiento es -- enteramente empírico.

El ejemplo de aplicación tratado aquí es el proyecto-- de la presa "Torimena". La boquilla para ese proyecto se en-- cuentra sobre el río Sinaloa, en el estado del mismo nombre. Aunque se hicieron estudios con el fin de desarrollar el pro-- yecto completo de una cortina en arco en ese lugar, por razo-- nes económicas y técnicas se prefirió construir, aguas abajo, la presa "Bacurato", de materiales graduados.

La referencia (2) de la bibliografía, es parte de los estudios que se realizaron para la presa "Torimena" y se usa aquí como base de comparación. En ese trabajo se emplea tam-- bién el método de los "ARCOS-MUROS", resolviendo los siste-- mas fundamentales en forma manual, por tanteos y con sumado-- ras de escritorio.

La topografía de la boquilla Torimena se presenta en-- la fig.12. Se determinó en ese proyecto que la altura de la-

cortina fuera de 126 m., fijando la cota 62 msnm. como nivel de desplante y 133 msnm. como elevación de la corona. De la planta topográfica y de una sección del cauce (fig.12), se pueden obtener las cuerdas de los arcos para diferentes niveles. Al emplear las fórmulas (4.2) con los datos contenidos en la tabla 1, se tiene que los espesores de la base y la corona para una primera alternativa son:

$$h_b = 0.2 (126) = 25.2 \text{ m.} \doteq 25 \text{ m.}$$

$$h_c = 0.01 (126 + 1.2(380)) = 5.82 \text{ m.} \doteq 6 \text{ m.}$$

Con estos valores y la fórmula (4.1), se pueden determinar los espesores, calculando primero el coeficiente "k" en la misma fórmula (4.1). Los espesores a diferentes niveles se incluyen en la tabla 1.

Los valores de los ángulos se hicieron variar gradualmente desde  $120^\circ$  en la corona hasta  $80^\circ$  en la base; tales valores están también en la tabla 1, junto con los radios calculados según la fórmula (4.3).

De la figura 9 se obtienen se obtienen los valores de los coeficientes de deformación del terreno, considerando  $\nu = 0$  y  $b/a \doteq 27$ ; estos son:

$$K_1 = 5.66, K_2 = 2.67, K_3 = 2.67, K_4 = 0.93$$

Los resultados obtenidos al correr el programa se aprecian en las tablas 1 y 2, así como en las figuras 13 y 14.



Se observa en esta primera alternativa que la mayoría de los arcos trabajan con esfuerzos de compresión que están por debajo del permisible. Son excepción algunos arcos de la parte baja en los que se producen pequeñas tensiones para el intradós de la clave y el extradós de los apoyos; también -- dentro de lo permisible (fig.14).

Los esfuerzos permisibles se toman normalmente como:

$$f_p = 0.25 f'_c, \text{ para compresión y,}$$

$$f_t = 0.15 f_p, \text{ para tensión,}$$

para el caso particular del proyecto Torimena se tiene que--

$f'_c = 380 \text{ kg/cm}^2$  y por lo tanto,

$$f_p = 95 \text{ kg/cm}^2$$

$$f_t = 14.3 \text{ kg/cm}^2.$$

Conviene mencionar que para todos los arcos, el esfuerzo en el eje es de compresión y constante a lo largo de este. Esto confirma que los arcos trabajan como tales (fig. 14).

Para el voladizo de esta primera alternativa se observa que la parte inferior del extradós está sujeto a esfuerzos de tensión mayores que el permisible; también en el intradós se sobrepasa el esfuerzo permisible de compresión; esto puede evitarse cambiando un poco la curva del perfil del voladizo (fig.12), para que el efecto del peso propio y peso del agua, disminuyan los efectos hidrostáticos.

En la segunda alternativa se consideró adecuado cambiar la curva del perfil y aumentar hasta 30 m. el ancho en la base (fig.12). Los nuevos datos se ven en la tabla 3, se conservaron las cuerdas y los ángulos de los arcos.

Los resultados de la segunda alternativa se muestran en las tablas 3 y 4, y las figuras 15 y 16, mismas que indican que el comportamiento de los arcos no varía en forma considerable, manteniéndose estos dentro del rango de esfuerzos permisibles.

Respecto al voladizo, el cambio de la curva del perfil resulta favorable al reducir la zona de esfuerzos de tensión en la parte baja del extradós, igualmente se reducen -- los altos esfuerzos de compresión que se tenían inicialmente en el intradós, hasta hacerlos permisibles (fig.15b).

La configuración que se considera más adecuada se apprecia en la fig. 12a y 12d.

En las zonas en que los arcos o voladizo están sujetos a pequeños esfuerzos de tensión permisibles, es factible diseñar un refuerzo para evitar que se generen grietas indeseables en la superficie del concreto.

## 5.- CONCLUSIONES

1.- Las ventajas de contar con un programa para computador, pueden resumirse en los siguientes puntos:

1.a). La exactitud que se puede lograr en los resultados es mayor que si el proceso se hace en forma manual, debido a que la mayoría de los equipos que se usan cuentan con capacidad para variables de precisión doble; cualidad que en el caso de tener que resolver sistemas de ecuaciones de tamaño medio, resulta de gran utilidad.

1.b). El número de alternativas que se pueden procesar es grande, ya que el tiempo que emplea el programa es de unos cuantos segundos, dejando a un lado la necesidad de emplear la "intuición técnica" para definir de antemano la solución y evitar así la pérdida de tiempo.

1.c). Los costos del análisis de cada alternativa son muy bajos en comparación al del cálculo manual, dado que una alternativa en computador son unos segundos de cálculo y en forma manual se requieren semanas de un buen equipo de mas o menos cinco gentes.

2.- Es posible "partir" el programa para emplear equipos electrónicos que son de fácil adquisición, tales como microcomputadores y calculadoras de escritorio avanzadas donde no cabría completo; igualmente pueden emplearse minicomputadores que usan lenguaje BASIC.

3.- La tecnología actual permite realizar el análisis estructural en México de proyectos para cortinas en arco; es en la construcción donde se tienen que adecuar o contratar - equipos y procedimientos. Por esta misma razón se construyen pocas presas de arco en México, ya que la experiencia constructiva amplia está en las de materiales graduados.

4.- Sin un estudio profundo de mecánica de rocas es imposible respaldar un buen proyecto de la cortina. En países donde han ocurrido fallas en cortinas de arco, se observa que la causa fundamental es el colapso de la cimentación; esta es otra limitación para el estudio y construcción de cortinas en arco.

5.- Para la elaboración del concreto deberán emplearse materiales de la mejor calidad. El proporcionamiento se determina en el laboratorio, ensayando un número considerable de mezclas tentativas, con el fin de garantizar no sólo la resistencia sino otras propiedades importantes tales como la impermeabilidad y la durabilidad.

## B I B L I O G R A F I A.

1. Lombardi Jean, "Les barrages en voute mince", Dunod, Paris, 1955.
2. Oliva Anaya Carlos, "Proyecto preliminar de la cortina de la presa Torimena", Tesis profesional, U.N.A.M., México, 1959.
3. Beaujoint Nicolas, "Le calcul global des barrages-voutes", Annales des ponts et chaussées, - Vol. 130, 1960.
4. Creager William Pitcher, "Engineering for dams" J. Wiley, New York, 1945.
5. United States Department of the Interior, Bureau of Reclamation, "Trial load method of analyzing arch dams", Boulder Canyon Project, Final report, Part V, Bulletin 1, Denver Colorado, 1938.
6. Rozanov L.D., Bielty P.I., "Presas de concreto sobre mantos rocosos", Stroyizdat, Moscú, 1975.
7. Portland Cement Association, "Presas pequeñas de concreto", Limusa, México, 1978.
8. S.R.H., C.F.E., U.N.A.M., "Comportamiento de presas construidas en México", Contribución al XII Congreso Internacional de Grandes Presas, Instituto de Ingeniería U.N.A.M., México, 1976.
9. Canales Lozano Rogerio, "La planta hidroeléctrica de Santa Rosa", Rev. Ingeniería, México, Vol. XXXIV Oct. 1964.

10. Rocha Manuel, "Comportamiento mecánico de las rocas de cimentación en cortinas de concreto", Rev. Ingeniería, México, Vol. XXXIV Oct. 1964.

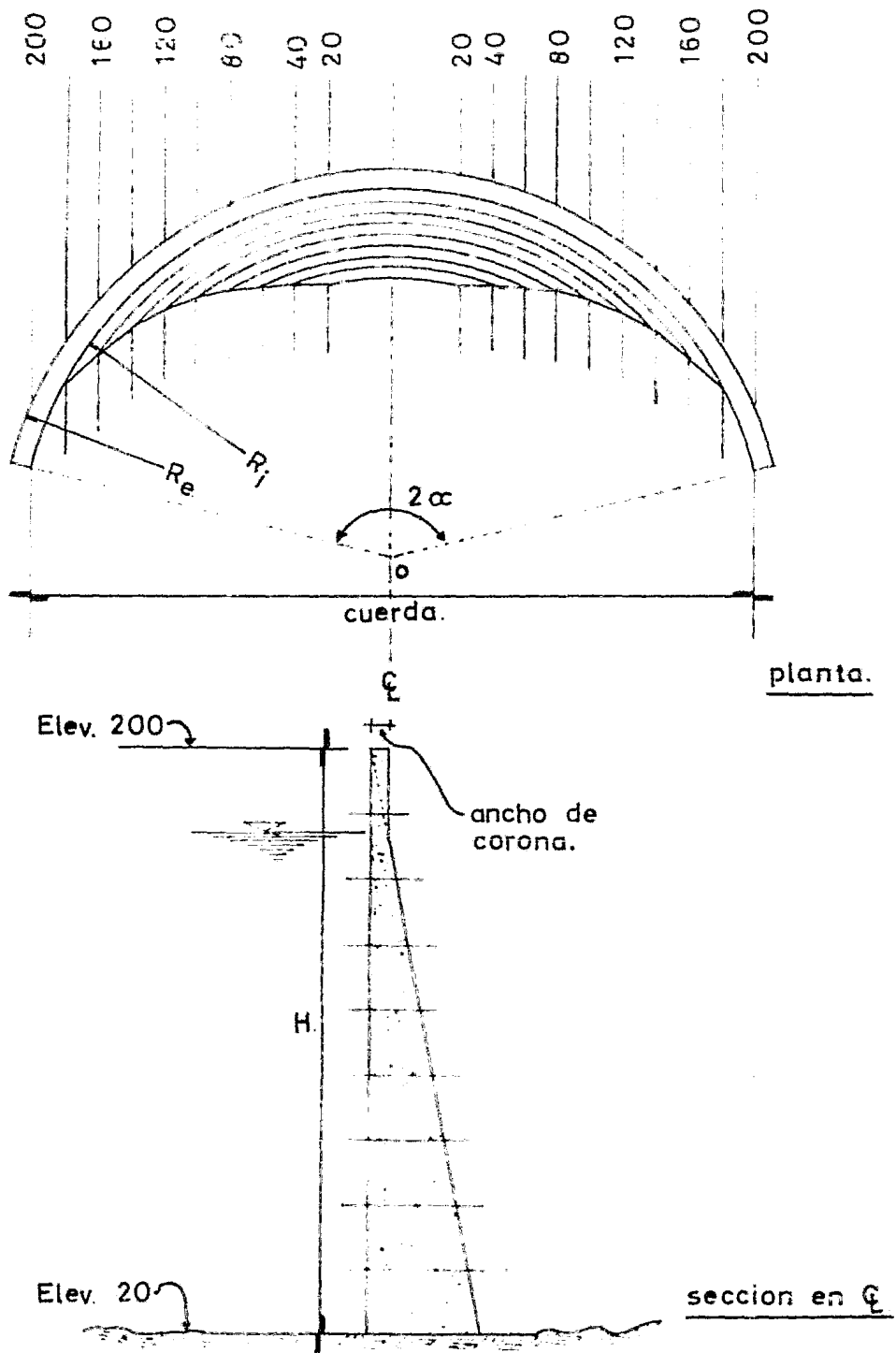


Fig 1 CORTINA EN ARCO DE RADIO CONSTANTE

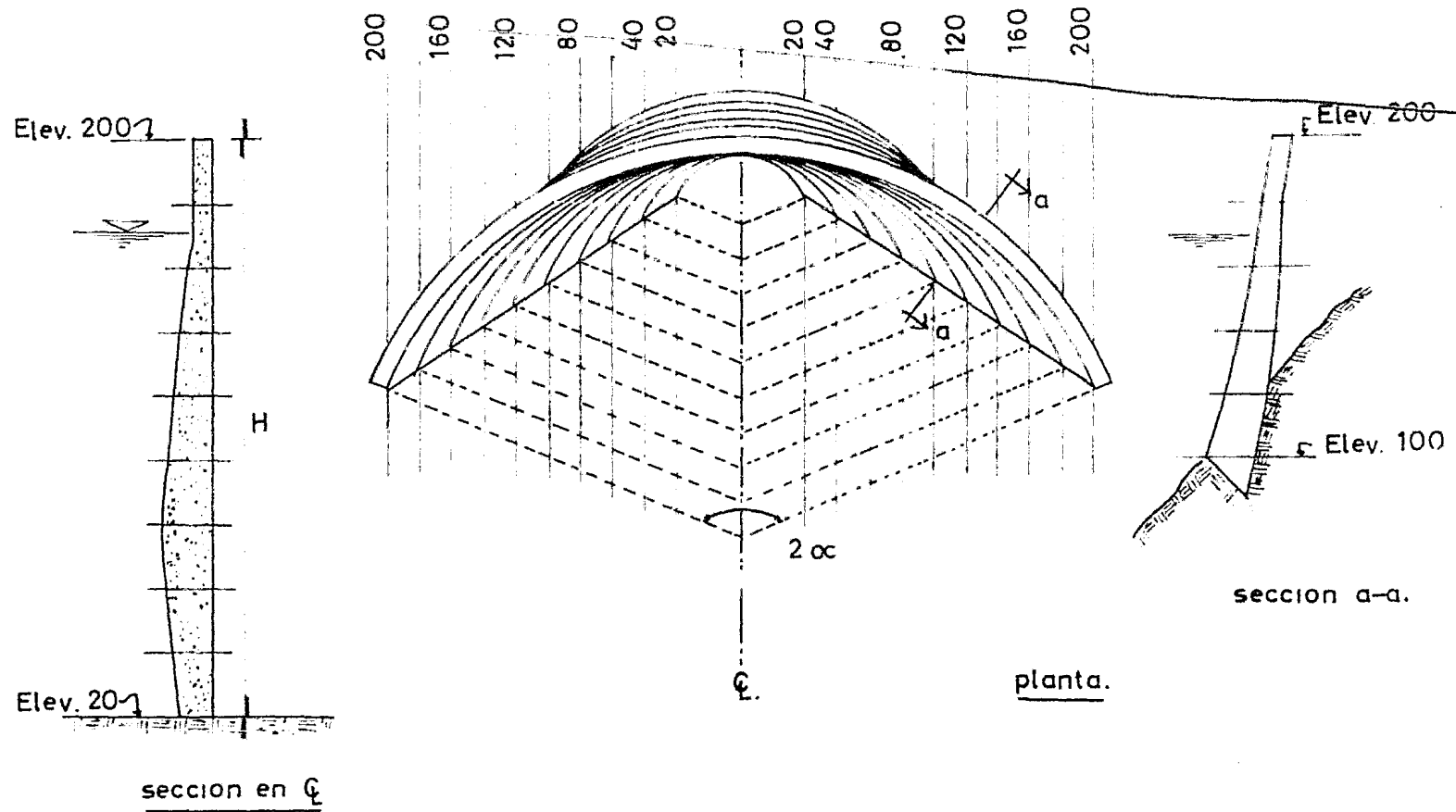
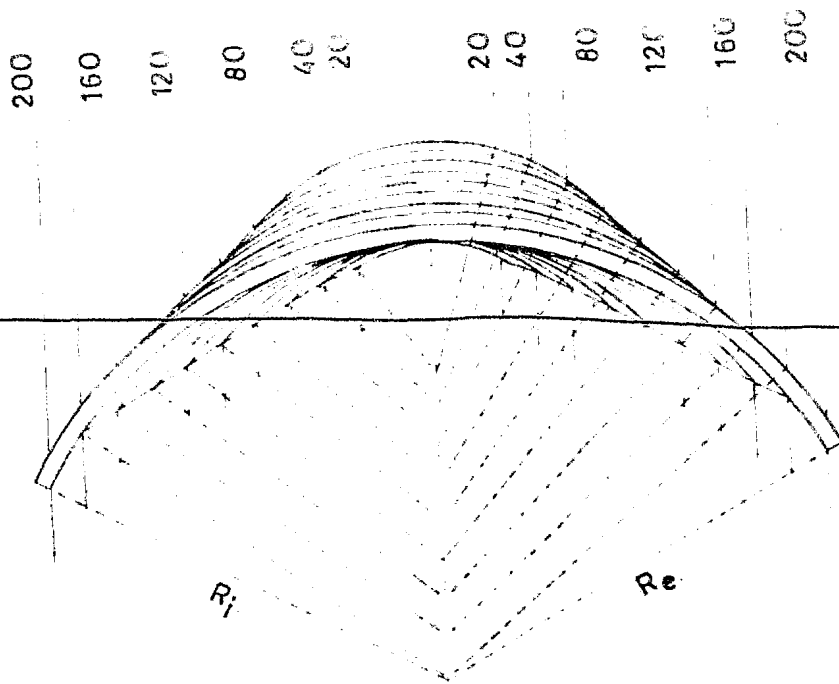


Fig. 2. CORTINA EN ARCO DE ANGULO CONSTANTE.





planta.

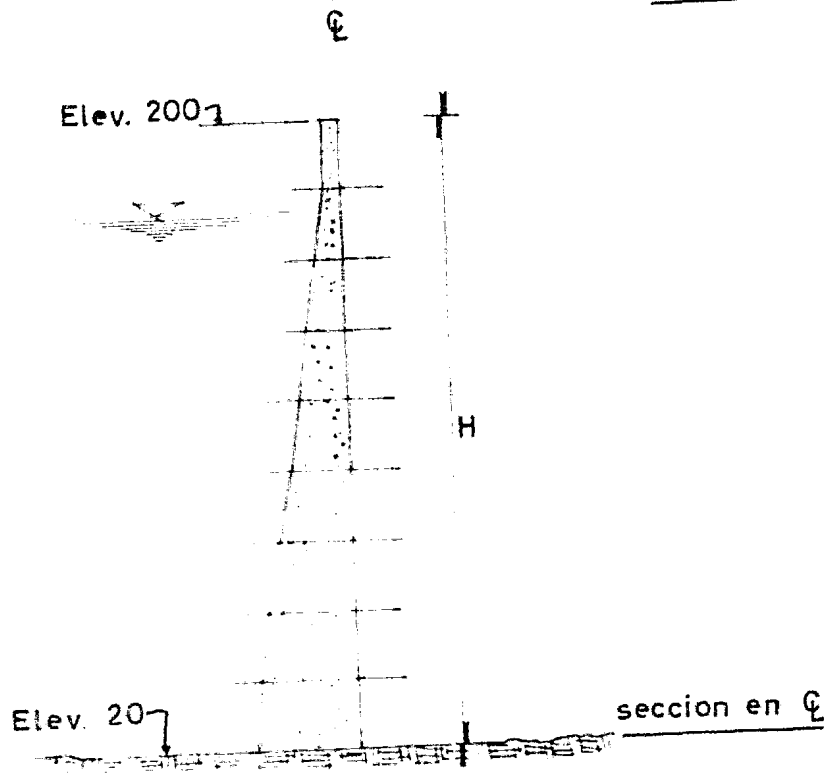


Fig 3. CORTINA EN ARCO DE RADIO VARIABLE.

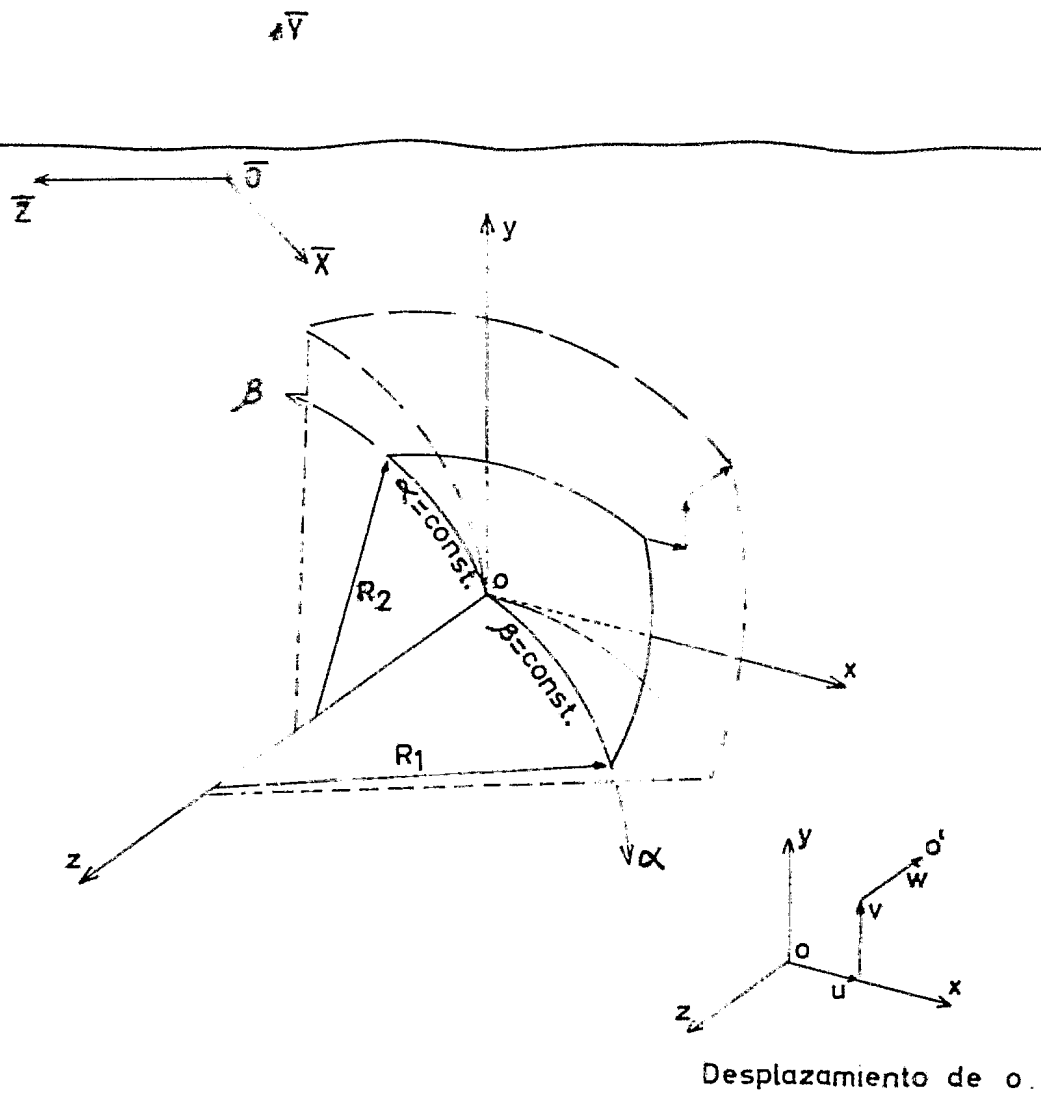
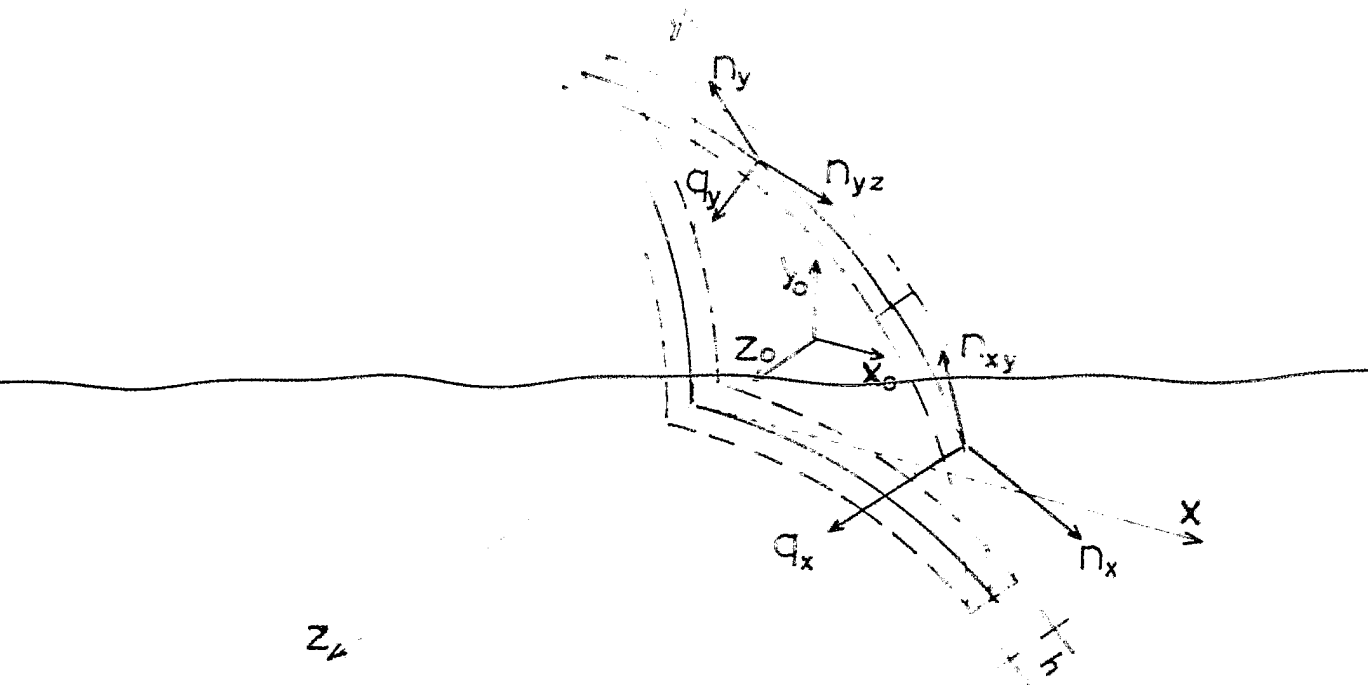
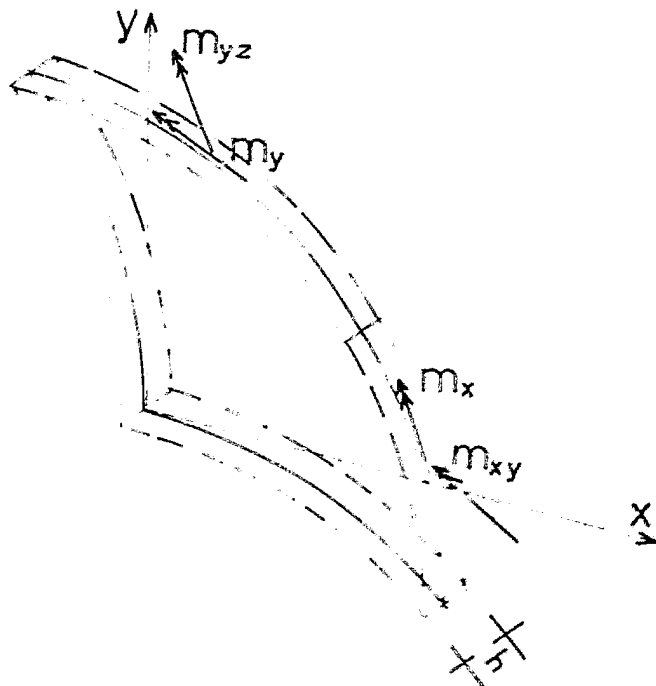


Fig. 4 PORCION DE SUPERFICIE MEDIA DE UN CASCARON



EQUILIBRIO DE FUERZAS.



EQUILIBRIO DE MOMENTOS

Fig. 5.

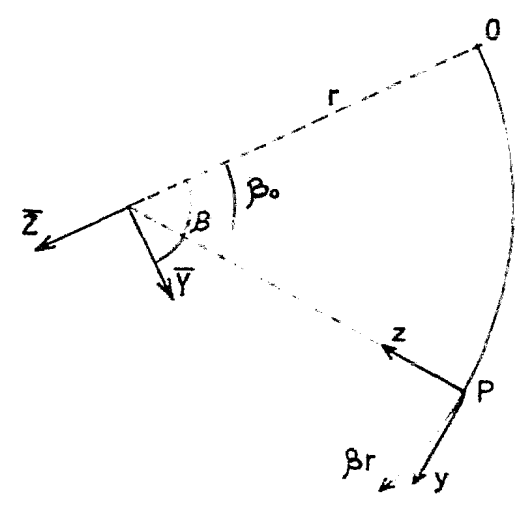
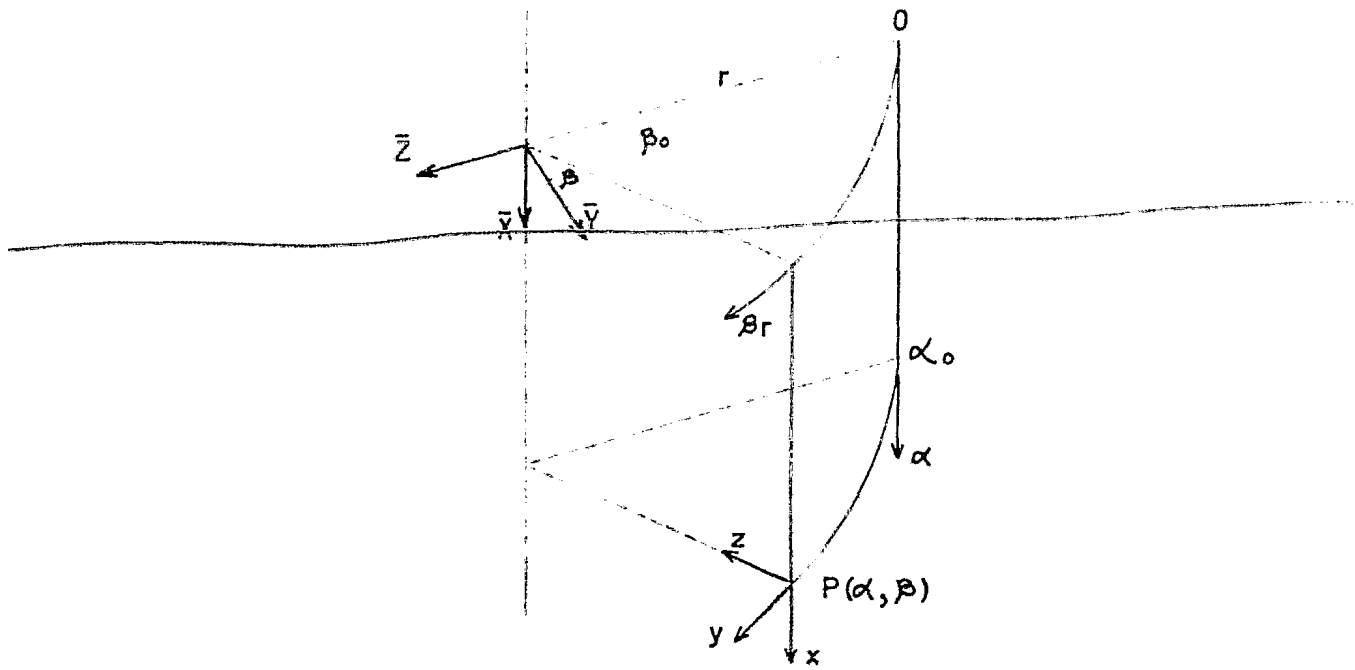


Fig 6 CASCARON CILINDRICO

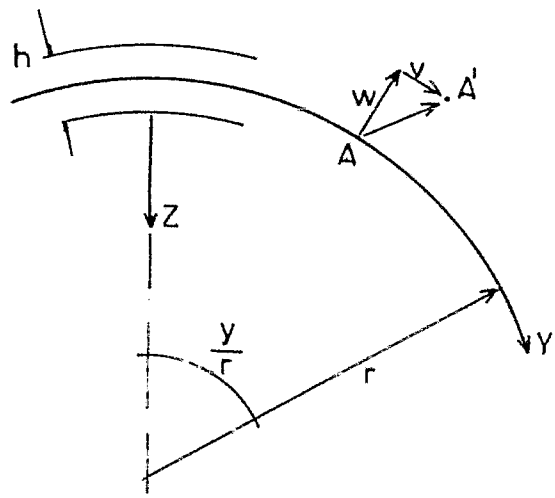
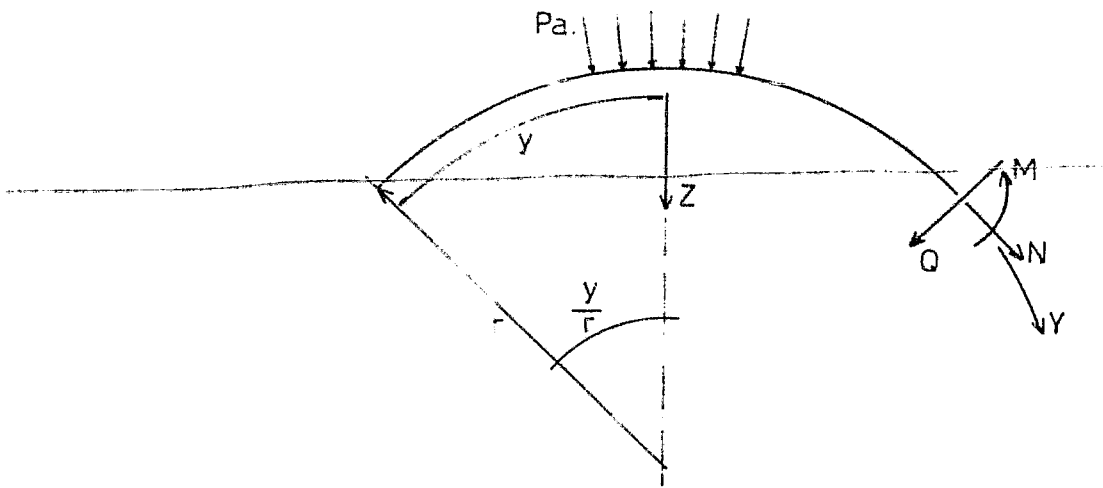


Fig. 7 ELEMENTOS MECÁNICOS EN UNA SECCION Y DESPLAZAMIENTO DE UN PUNTO

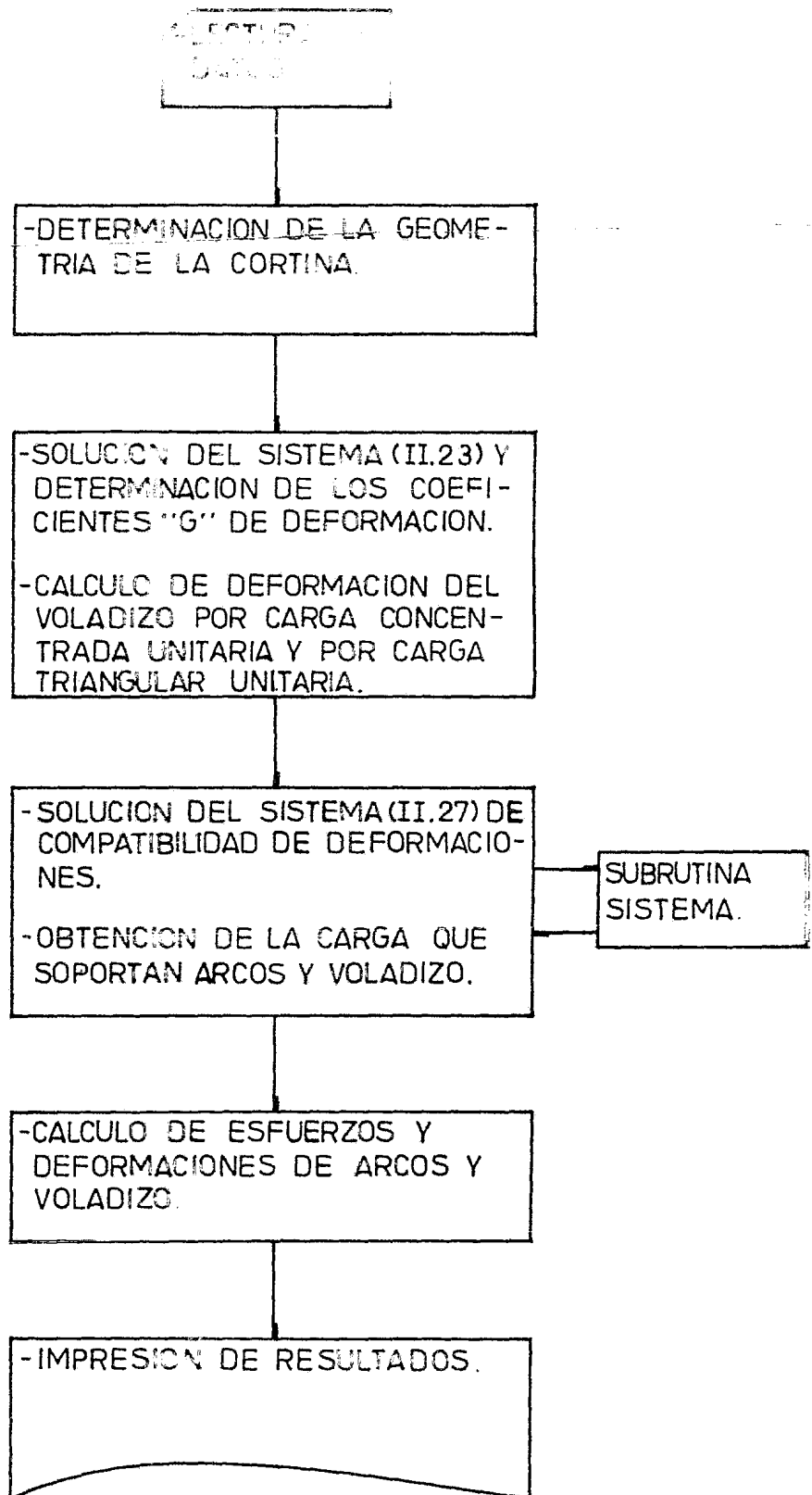


Fig. 8. DIAGRAMA DE BLOQUES.

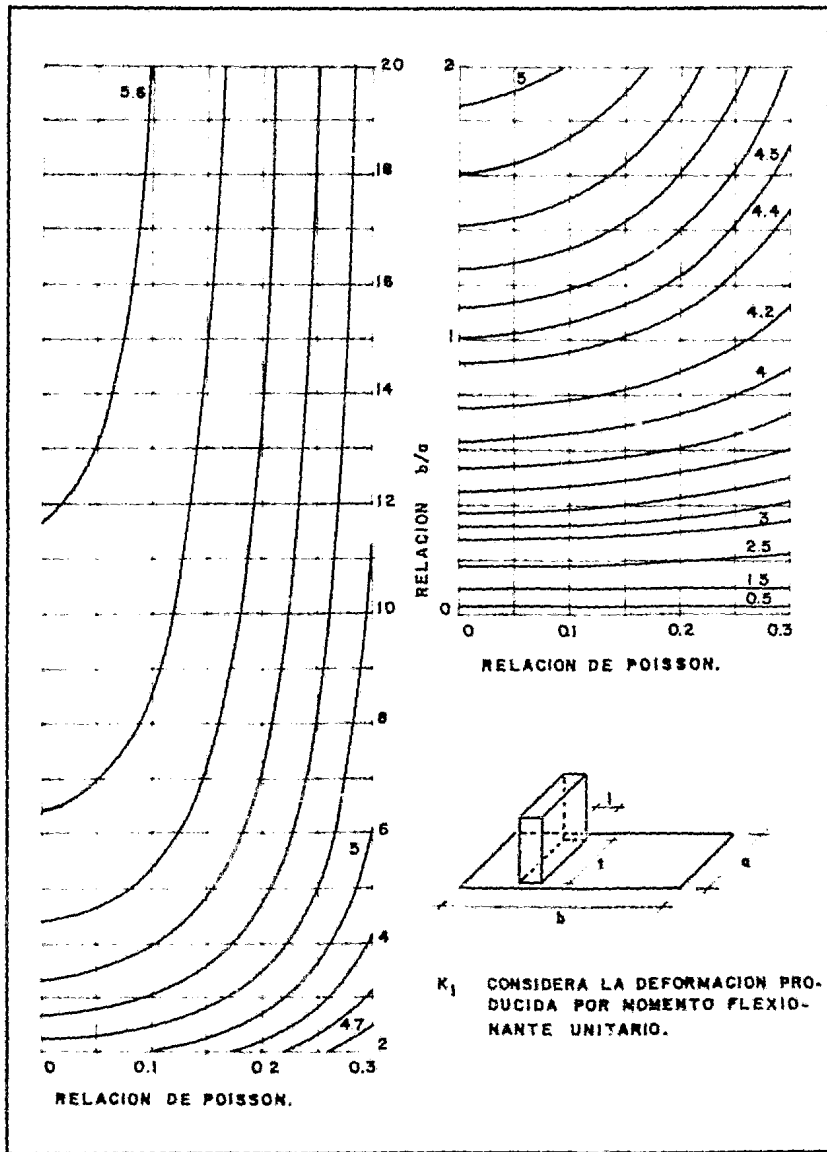


Fig. 9a. VALORES DEL COEFICIENTE  $K_1$

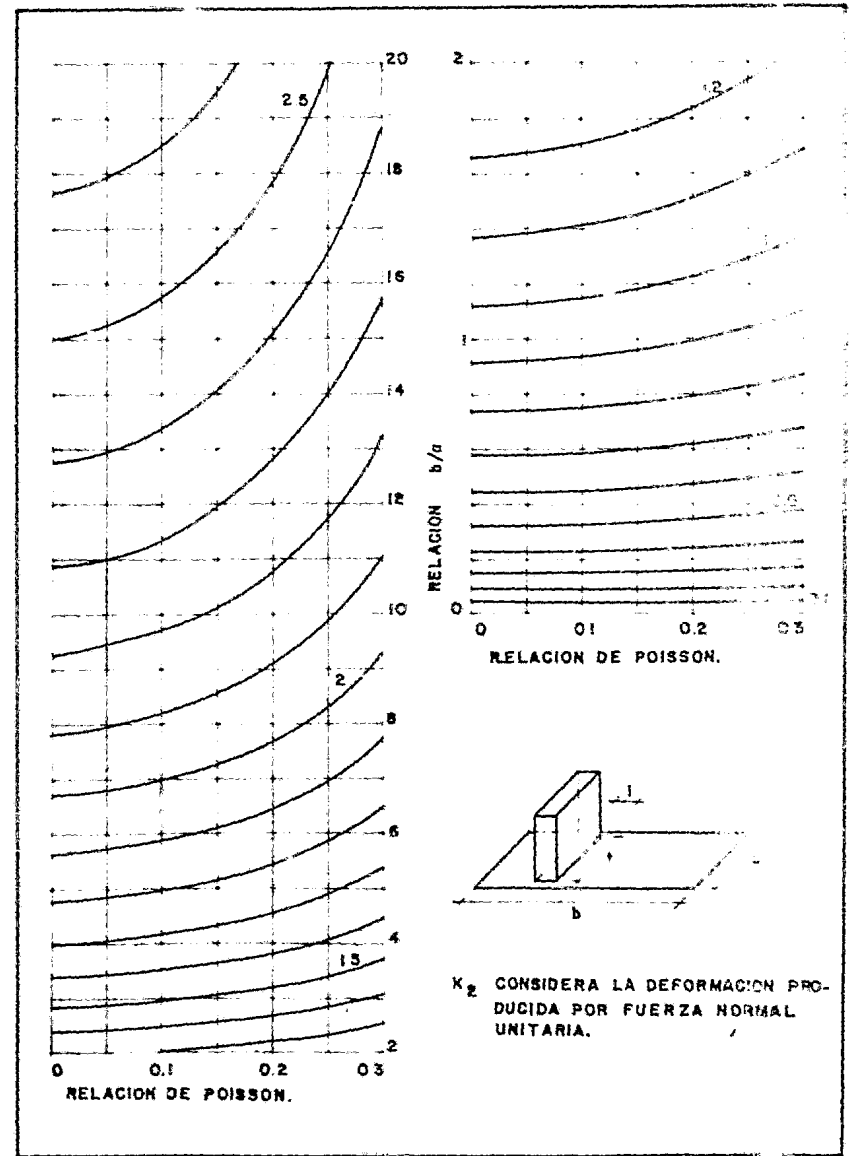


Fig. 9b. VALORES DEL COEFICIENTE  $K_2$

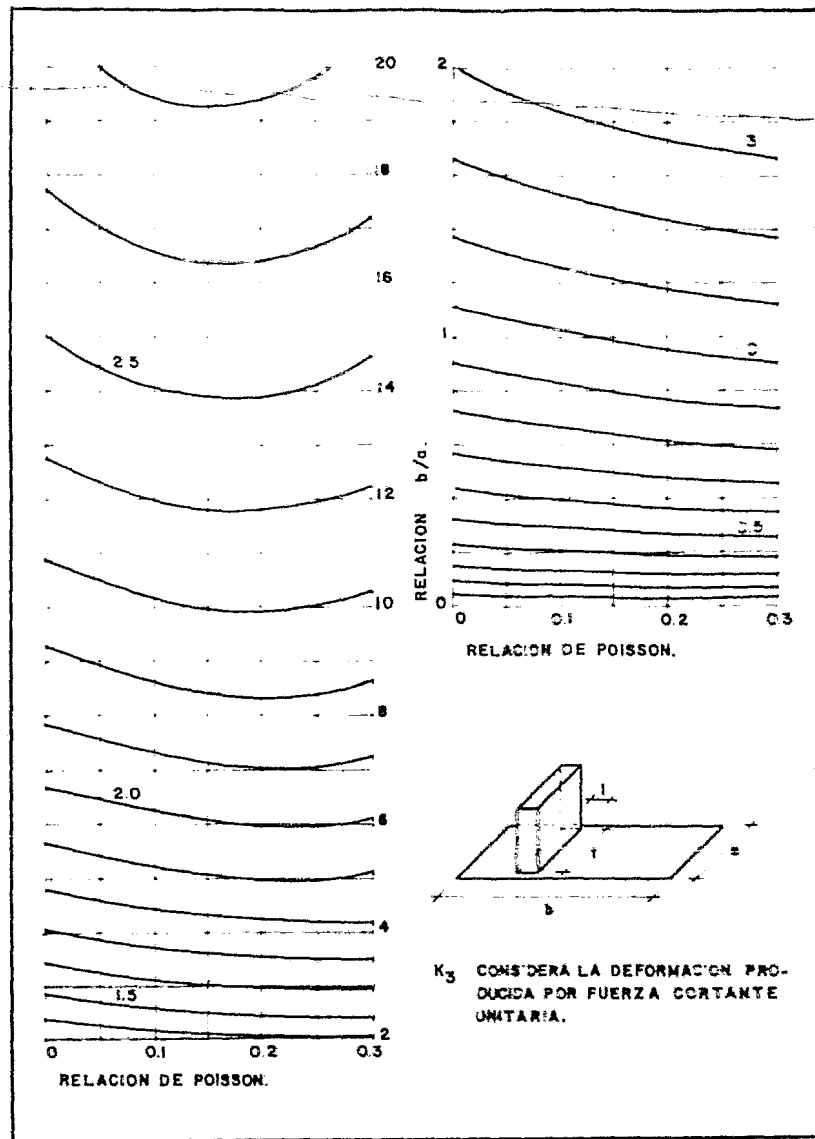


Fig. 9c. VALORES DEL COEFICIENTE  $K_3$

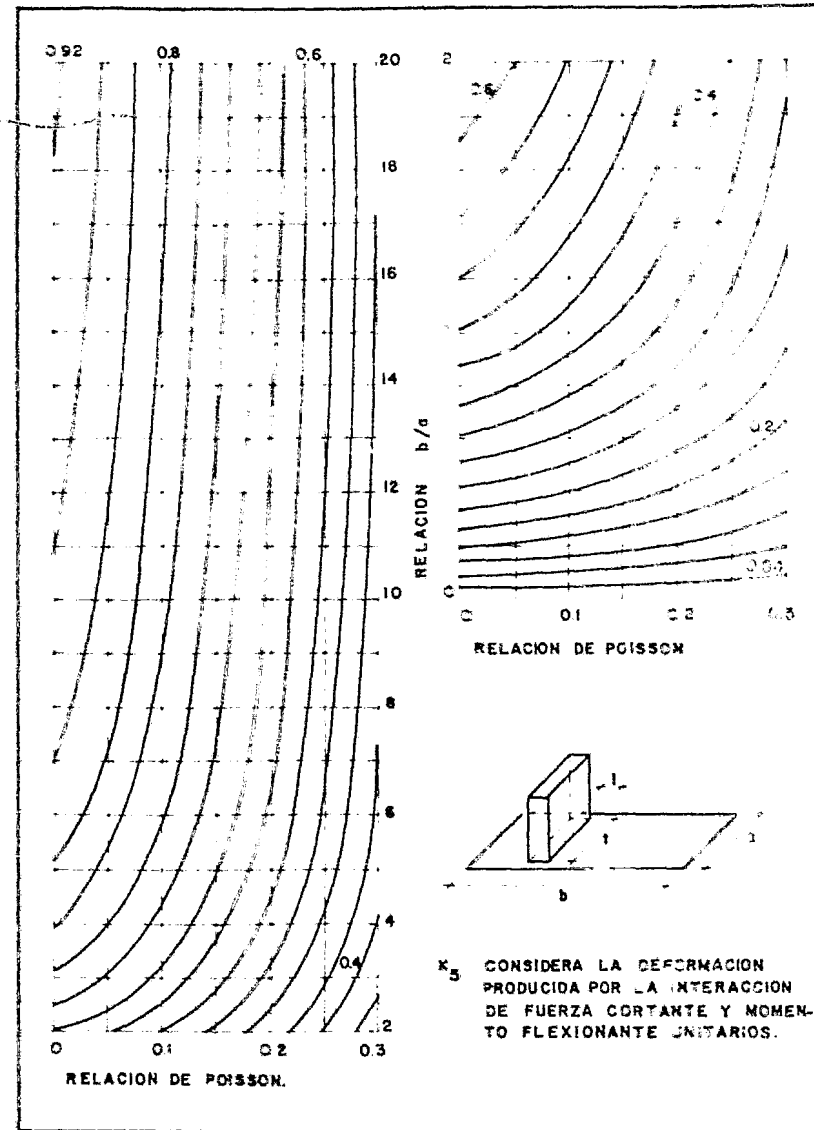


Fig. 9d. VALORES DEL COEFICIENTE  $K_5$



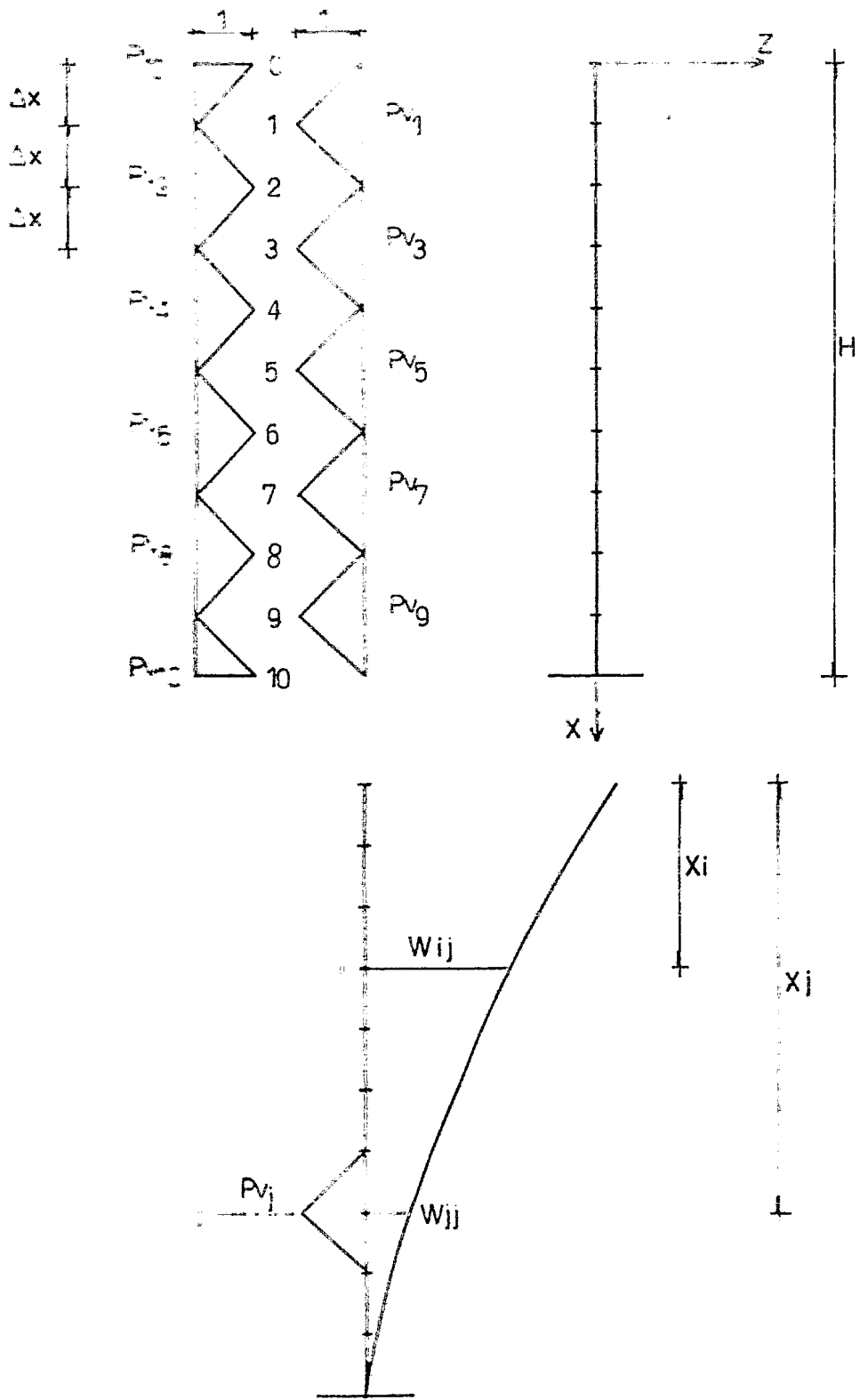


FIG. 10. CARGA TRIANGULAR UNITARIA Y DEFORMACION PRODUCIDA

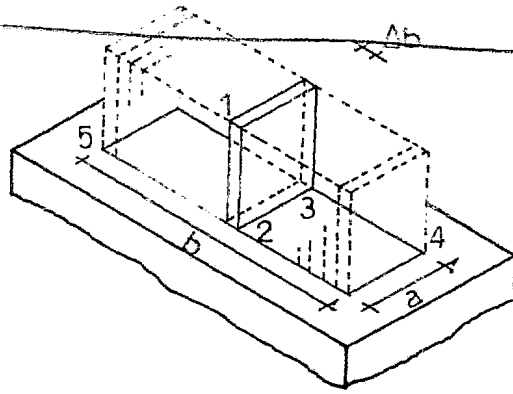


Fig. 11a. Prisma de carga sobre la cimentación.

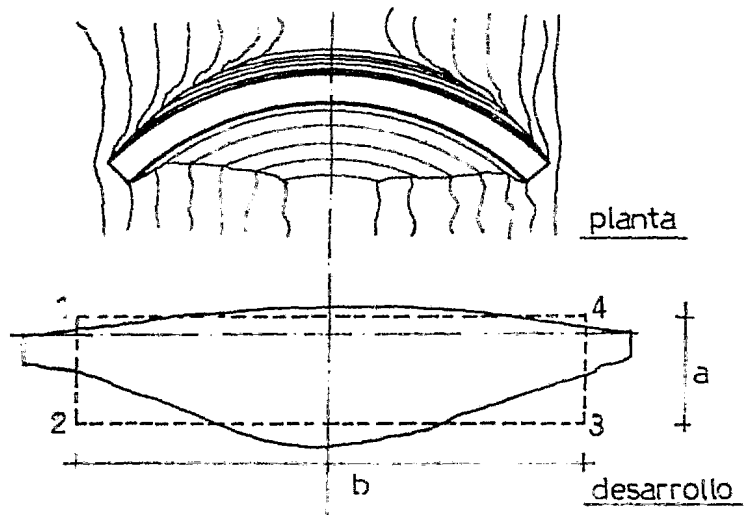


Fig. 11b. Area equivalente de la cimentación.

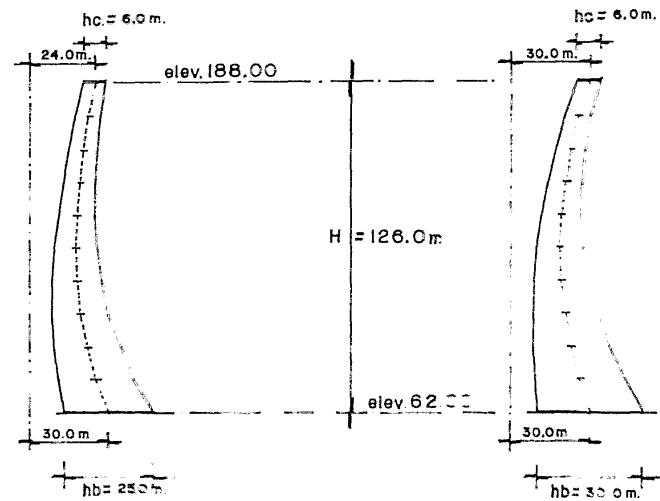
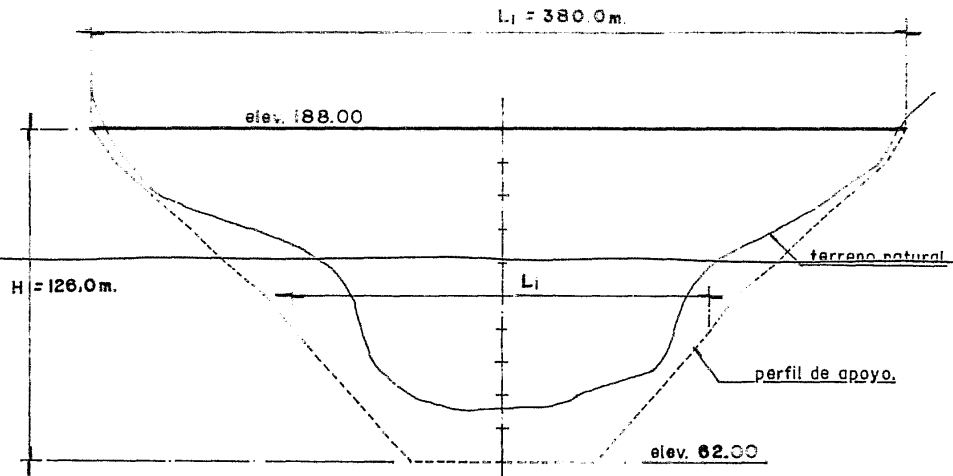
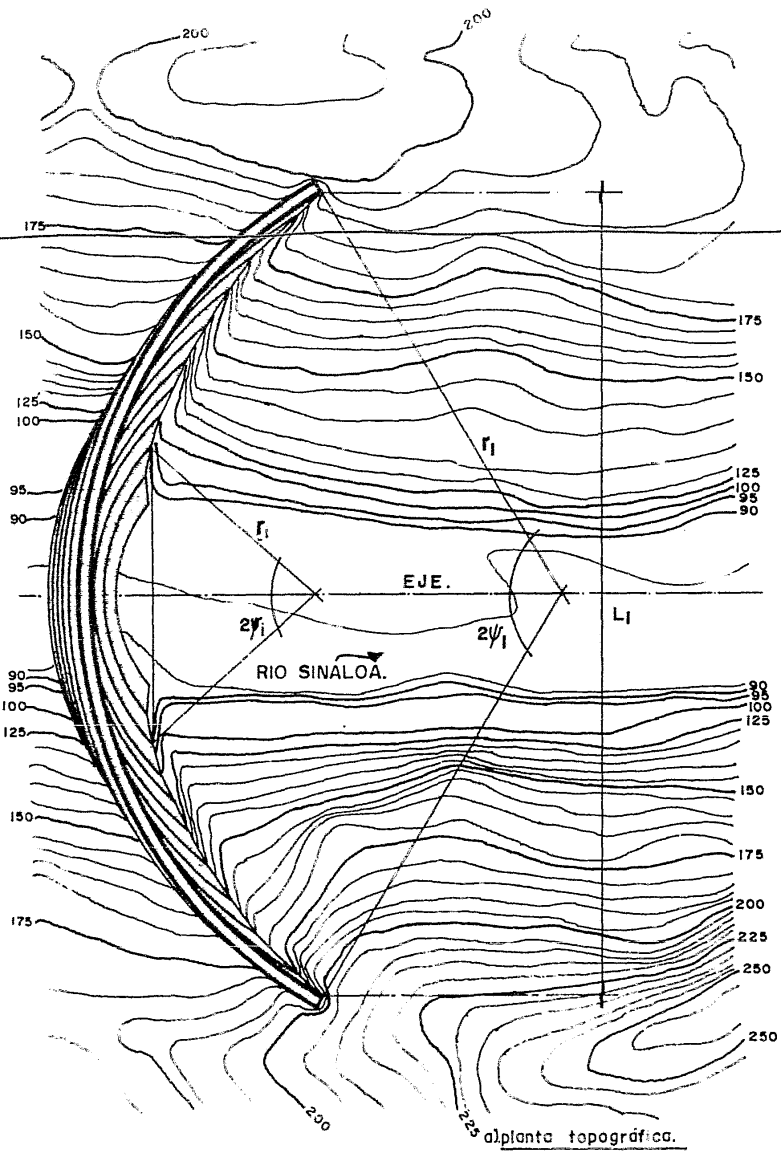


Fig.12 CONFIGURACION DE LA CORTINA.

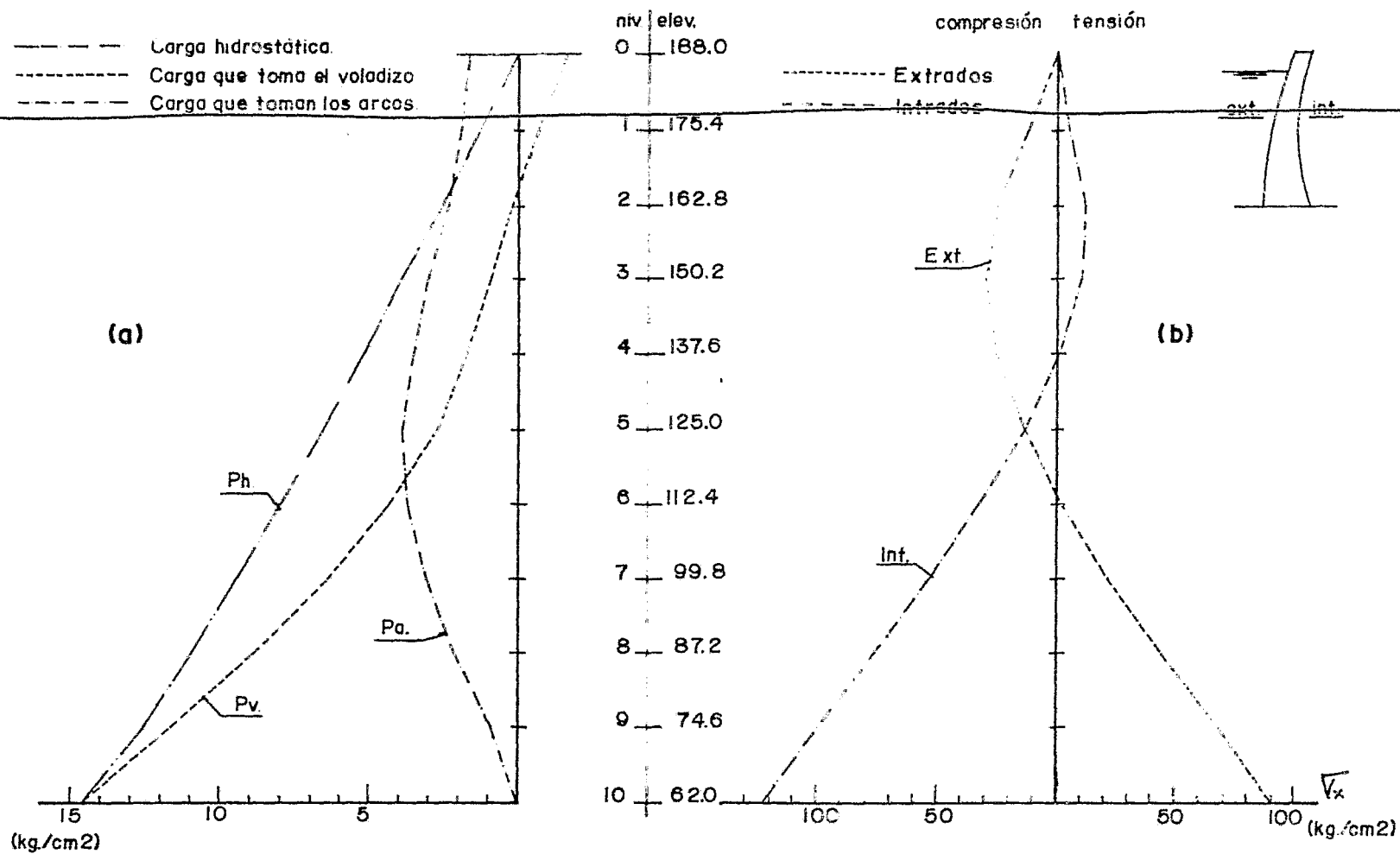


Fig.13. a).REPARTICION DE CARGA ENTRE ARCOS Y VOLADIZO, b).VARIACION DE ESFUERZOS EN EL VOLADIZO. PRIMERA ALTERNATIVA,CORTINA "TORIMENA",

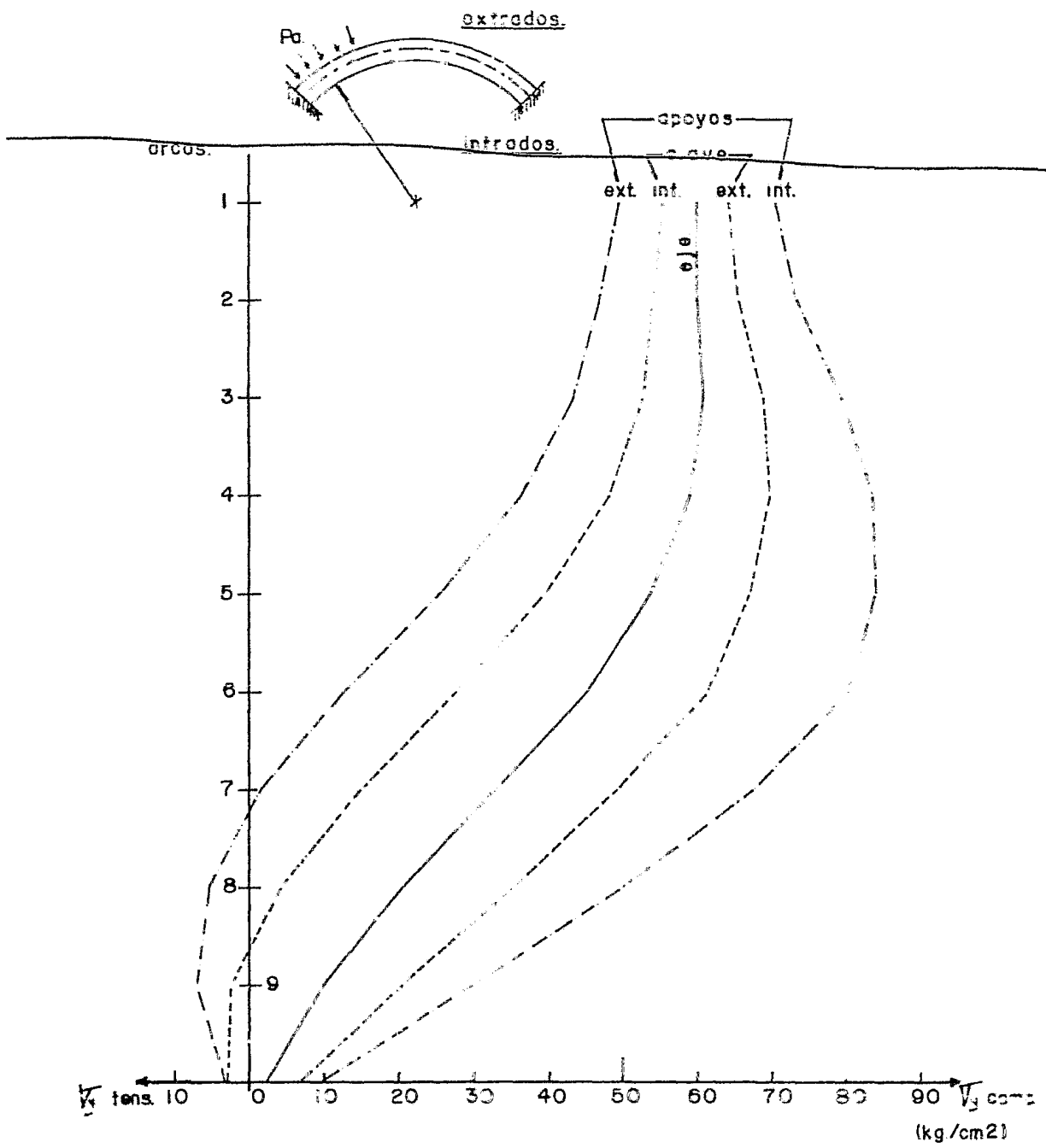


Fig. 14 VARIACION DE ESFUERZOS EN LOS ARCOS PRIMERA ALTERNATIVA, CORTINA "TORIMENA".

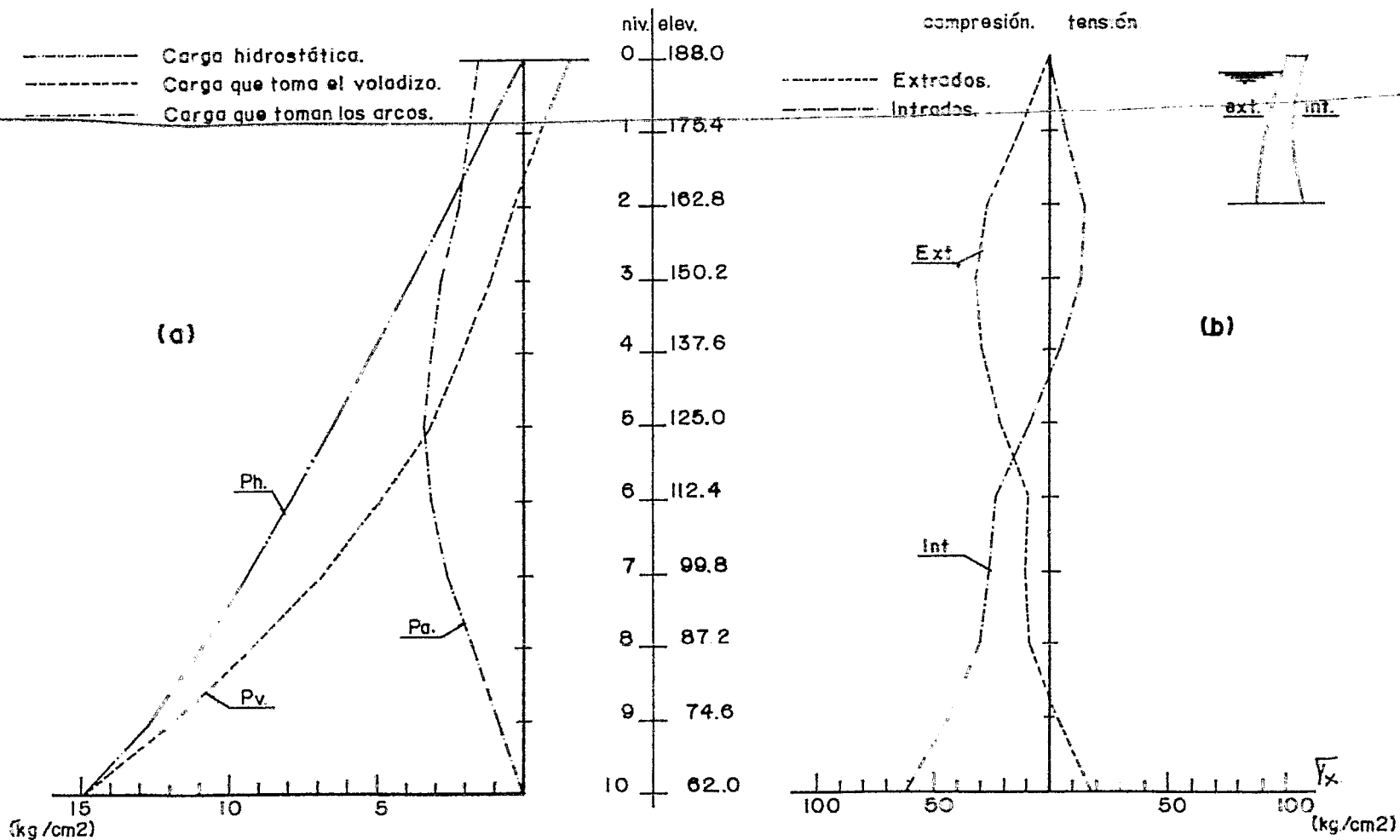


Fig.15. a).REPARTICIÓN DE CARGA ENTRE ARCOS Y VOLADIZO. b). VARIACION DE ESFUERZOS EN EL VOLADIZO. SEGUNDA ALTERNATIVA, CORTINA "TORIMENA".

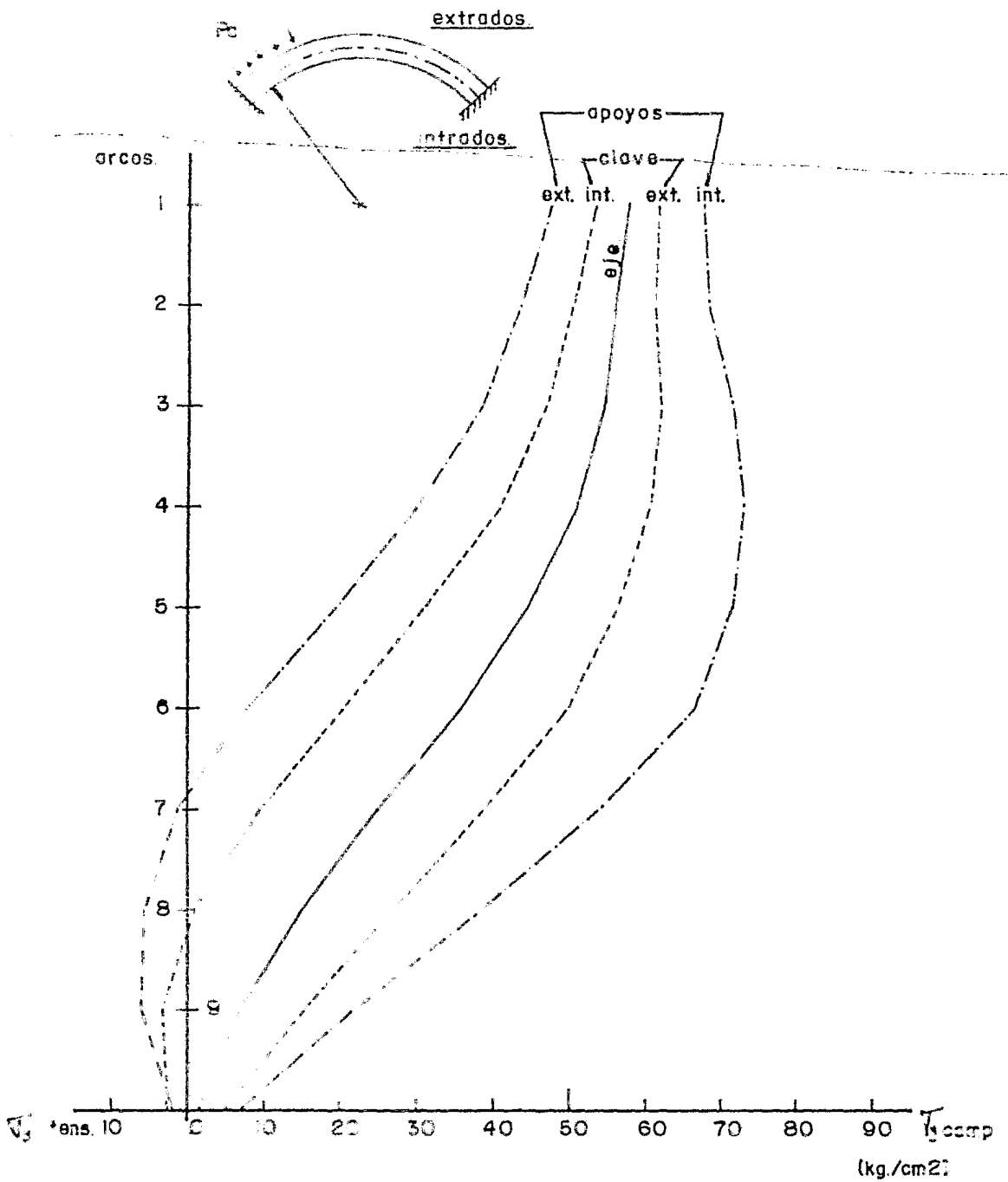


Fig 6 VARIACION DE ESFUERZOS EN LOS ARCOS. SEGUNDA ALTERNATIVA, CORTINA "TORRENA"

NIVEL	ELEVACION (msnm)	Li/2 (m)	$\psi/2$	RADIO (m)	ESPEJOR (m)	Ph (kg/cm <sup>2</sup> )	Pv (kg/cm <sup>2</sup> )	Pa (kg/cm <sup>2</sup> )
0	188.00	190.00	60°	222.39	6.00	0	- 1.62	1.62
1	175.40	180.00	58°	215.71	6.92	1.28	- 0.65	1.93
2	162.80	162.50	56°	200.00	7.98	2.57	0.12	2.45
3	150.20	145.00	54°	183.83	9.21	3.87	0.88	3.99
4	137.60	127.50	52°	167.11	10.62	5.20	1.71	3.49
5	125.00	110.00	50°	149.72	12.25	6.56	2.72	3.84
6	112.40	97.50	48°	138.26	14.13	7.95	4.34	3.61
7	99.80	85.00	46°	126.31	16.30	9.39	6.38	3.01
8	87.20	71.00	43°	113.51	18.80	10.91	8.82	2.09
9	74.60	57.00	40°	99.52	21.68	12.58	11.66	0.92
10	62.00	42.50	40°	78.62	25.62	14.60	14.60	0

VOLUMEN TOTAL DE LA CORTINA: 394,656 m

TABLA 1. Geometría de la cortina y repartición de carga entre arcos y voladizo.  
Primera alternativa.



NIVEL	ARCOS				VOLADIZO			
	$\sqrt{V_y}$ CLAVE (kg/cm <sup>2</sup> )		$\sqrt{V_y}$ APOYO (kg/cm <sup>2</sup> )		EJE	$\sqrt{V_x}$	(kg/cm <sup>2</sup> )	$\sigma_z$ (m)
	EXT.	INT.	EXT.	INT.	(kg/cm <sup>2</sup> )	EXT.	INT.	
0	- 64.21	- 55.49	- 49.69	- 70.41	- 59.91	0	0	0.13
1	- 65.70	- 54.20	- 47.03	- 73.56	- 60.08	- 11.99	5.55	0.13
2	- 68.87	- 52.94	- 43.40	- 79.45	- 61.06	- 25.00	12.09	0.13
3	- 69.70	- 48.21	- 36.21	- 83.42	- 59.22	- 29.31	10.60	0.11
4	- 67.25	- 39.59	- 25.49	- 84.10	- 53.86	- 24.75	1.25	0.10
5	- 61.35	- 27.75	- 12.61	- 89.65	- 45.24	- 13.54	- 13.62	0.08
6	- 49.36	- 14.82	- 1.52	- 67.81	- 32.97	2.29	- 31.99	0.05
7	- 35.14	- 4.10	55.32	- 50.14	- 20.62	21.93	- 53.14	0.03
8	- 20.57	2.66	7.01	- 29.90	- 9.92	44.36	- 76.13	0.02
9	- 7.01	2.83	3.18	- 9.86	- 2.63	68.07	- 99.62	0
10	--	--	--	--	--	91.44	-122.15	0

TABLA 2. Esfuerzos finales. Primera alternativa.

NIVEL	ELEVACION (msnm)	Li/2 (m)	$\psi/2$	RADIO (m)	ESPESOR (m)	Ph (kg/cm <sup>2</sup> )	Pv (kg/cm <sup>2</sup> )	Pa (kg/cm <sup>2</sup> )
0	188.00	190.00	60°	222.39	6.00	0	- 1.56	1.56
1	175.40	180.00	58°	215.78	7.05	1.28	- 0.55	1.83
2	162.80	162.50	56°	200.15	8.28	2.57	0.29	2.28
3	150.20	145.00	54°	184.09	9.72	3.88	1.15	2.73
4	137.60	127.50	52°	167.51	11.42	5.21	2.11	3.10
5	125.00	110.00	50°	150.30	13.41	6.58	3.34	3.24
6	112.40	97.50	48°	139.07	15.76	7.99	4.92	3.07
7	99.80	85.00	46°	127.42	18.51	9.46	6.94	2.52
8	87.20	71.00	43°	114.97	21.74	11.03	9.28	1.75
9	74.60	57.00	40°	101.44	25.53	12.77	12.00	0.77
10	62.00	42.50	40°	81.11	29.98	14.93	14.93	0

VOLUMEN TOTAL DE LA CORTINA: 435,989 m

TABLA 3. Geometría de la cortina y repartición de carga entre arcos y voladizo.  
Segunda alternativa.

NIVEL	ARCOS				VOLADIZO			
	$\sqrt{y}$ CLIVE (kg./cm <sup>2</sup> )		$\sqrt{y}$ APOYO (kg./cm <sup>2</sup> )		EJE	$\bar{y}_x$ (kg. cm <sup>2</sup> )		$\int z$ (m)
	EXT.	INT.	EXT.	INT.	(kg./cm <sup>2</sup> )	EXT.	INT.	
0	- 61.38	- 53.47	- 47.88	- 67.85	- 57.73	0	0	0.13
1	- 61.24	- 50.41	- 43.55	- 68.68	- 55.91	- 15.0	4.32	0.12
2	- 62.02	- 47.19	- 38.36	- 71.85	- 54.76	- 29.78	12.42	0.11
3	- 61.60	- 41.01	- 30.19	- 73.07	- 51.06	- 34.76	11.18	0.10
4	- 56.48	- 31.02	- 19.49	- 71.41	- 44.57	- 31.85	2.58	0.08
5	- 49.82	- 20.57	- 7.88	- 66.43	- 35.85	- 23.94	- 10.57	0.06
6	- 36.82	- 9.50	1.05	- 54.16	- 24.99	- 11.62	- 26.34	0.04
7	- 26.80	- 1.18	5.65	- 38.72	- 14.92	- 12.55	- 29.05	0.02
8	- 15.22	3.30	5.82	- 22.13	- 6.83	- 11.31	- 32.11	0
9	- 5.00	2.50	2.25	- 6.83	- 1.72	1.58	- 46.38	0
10	--	--	--	--	--	15.30	- 63.25	0

TABLA 4. Esfuerzos finales. Segunda alternativa.